



99790 - 9

II

ист. комп.



99790 II

Inż. JÓZEF TULISZKOWSKI

HYDRAULIKA

W POŻARNICTWIE

NAKŁADEM WYDZIAŁU WYDAWNICZEGO
ZWIĄZKU STRAŻY POŻARNYCH R. P.
WARSZAWA – 1938

HYDRAULIKA W POŻARNICTWIE

66



HYDRAULIKA W POŻARNICTWIE

I-a część książki (Nr. 9) p. t.:
„PRZYRZĄDY GAŚNICZE”

stanowiącej III tom pracy p. t.:
„OBRONA PRZED POŻARAMI”

opracował
Inż. JÓZEF TULISZKOWSKI

Biblioteka Jagiellońska



1001952465

NAKŁADEM WYDZIAŁU WYDAWNICZEGO
ZWIĄZKU STRAŻY POŻARNYCH R. P.
W a r s z a w a 1 9 3 8

99790

11



PRZEDMOWA.

Oddawna dawał się odczuwać w naszym piśmiennictwie poważnym brak podręcznika popularnego, który zawierałby szereg wiadomości podstawowych z fizyki, a zwłaszcza z działu mechaniki, traktującego o zjawiskach, jakim podlega podstawowy czynnik gaśniczy — woda.

Powodowany chęcią zaspokojenia tego braku, podjąłem już przed paru laty, gdy redagowałem czasopismo „Strażactwo Zawodowe“ drukowanie na jego łamach artykułów na te tematy p. t. „Główne zasady hydrauliki“. Zacząłem tę pracę od podstawowych wiadomości z mechaniki, podając pojęcia o sile, przyspieszeniu, szybkości, pracy, energii i ruchu. Następnie były omówione prawa z hydrostatyki, wyjaśnione szeregiem przykładów i rysunków.

W kilka lat po rozpoczęciu tych prac zmuszony byłem przerwać — z przyczyn odemnie niezależnych — redagowanie czasopisma, a zarazem i moją pracę z dziedziny hydrauliki, która to praca objęła zaledwie pojęcia z mechaniki i hydrostatyki. Pozostawała natomiast nieopracowana główna część hydrauliki t. zw. „hydrodynamika“, obejmująca około trzech czwartych całości.

Powziąwszy dwa lata temu zamiar wydania oddzielnego podręcznika, stanowiącego popularny wykład z hydrauliki, dokończyłem z początkiem roku bież. tę pracę.

Główna część podręcznika zawiera, oprócz wzmiankowanych już pojęć zasadniczych z mechaniki i hydrostatyki, także dane, dotyczące nie tylko oporów, powstających podczas ruchu wody przez przyspieszenie i podczas przepływu jej przez przewody wskutek tarcia, zmiany przekrojów i kierunku przepływu, ale także wiadomości odnoszące się do oporów w gniazdach zaworów,

w szluzach. przepustnicach i kurkach; również rozpatrywane są różne systemy linii węzowych, wloty i przeloty swobodnych prądów wodnych, przy czym przytoczone są najnowsze ulepszenia w budowie pyszczków.

Dzięki łaskawemu poparciu Ministerstwa Spraw Wewnętrznych, które przyznało mi na to wydawnictwo 500 zł zasiłku, a również dzięki uchwale Zarządu Głównego Związku Straży Pożarnych R. P., który postanowił wydać ten podręcznik, myśl przyobleka się obecnie w czyn. Z tego powodu wyrażam niniejszym moje szczerze i głębokie podziękowanie Ministerstwu Spraw Wewnętrznych, a również Zarządowi Głównemu Związku Straży Pożarnych R. P. za łaskawe poparcie tej pracy.

JÓZEF TULISZKOWSKI.

W S T Ę P.

Wiadomo powszechnie, że woda jest najlepszym, najskuteczniejszym, najłatwiejszym do zdobycia środkiem do gaszenia pożarów. Dzięki swym właściwościom gaśniczym, polegającym na oziębianiu płonącego ciała i na oddzielaniu odeń powietrza, a z nim i tlenu, woda jest od niepamiętnych czasów stale używana w walce z pożarami.

I obecnie, pomimo wynalezienia nowych środków gaśniczych, jak piana (czy to chemiczna, czy też mechaniczna), dwutlenek węgla, czterochlorek węgla, bromek metylu oraz różnego rodzaju proszki, bomby gaśnicze i t. p., woda jest i zawsze będzie głównym, podstawowym czynnikiem gaśniczym.

Aby jednak te właściwości były jak najlepiej wykorzystane i umiejętnie stosowane, należy używać wodę z całą świadomością zjawisk i praw, jakim podlega ona pod działaniem wytwarzanego w sikawce ciśnienia, jak i podczas przepływania w węzłach ssawnych i tłocznych, oraz po wydobyciu się z prądownicy w postaci prądów.

Każdy zatem oficer straży pożarnej powinien znać zasady i prawa hydrauliki, każdy podoficer i szeregowy, kierujący prądem, musi mieć chociażby ogólne pojęcie o zjawiskach, jakie występują w czasie przepływu wody, od smoka węża ssawnego przez komorę ssawną, cylinder lub wirnik sikawki, a dalej przez linie węzłowe, aż do wylotu u pyszczków prądownic.

Powodowany powyższymi względami, postaram się najpopularniej wyłożyć główne prawa i zasady hydrauliki, posiłkując się licznymi przykładami z życia praktycznego i objaśniając je rysunkami.

J. T.

Co to jest hydraulika?

Hydrauliką nazywamy naukę, stanowiącą część mechaniki, zajmującą się badaniem praw równowagi cieczy i praw, jakim podlega ciecz, będąca w ruchu.

Podział.

Hydraulika zatem dzieli się na dwie części: na *statykę cieczy*, czyli *hydrostatykę*, badającą prawo równowagi cieczy i *dynamikę cieczy* czyli *hydrodynamikę*, poświęconą badaniom praw, jakim podlega ciecz, znajdująca się w ruchu.

Dla należytego zrozumienia praw i wzorów w hydrostatyce i hydrodynamice musimy się przedtem zapoznać z podstawowymi pojęciami ogólnymi z mechaniki.

I. Zasadnicze pojęcia z mechaniki.

(Dynamika ciał stałych)

1. Siła, przyspieszenie i szybkość.

Bezwładność.

Każde ciało, będące w stanie spoczynku, nie może zmieniać dowolnie swego miejsca, jeżeli na to ciało nie oddziaływa przyczyna zewnętrzna, powodująca ruch.

Również i ciało będące w ruchu nie może zmienić dowolnie raz osiągniętej prędkości i kierunku, jeśli nie wpływa na nie zewnętrzna przyczyna, wywołująca zmianę w prędkości lub kierunku.

Ta właściwość ciała nazywa się *bezwładnością (inercją)*.

Siła.

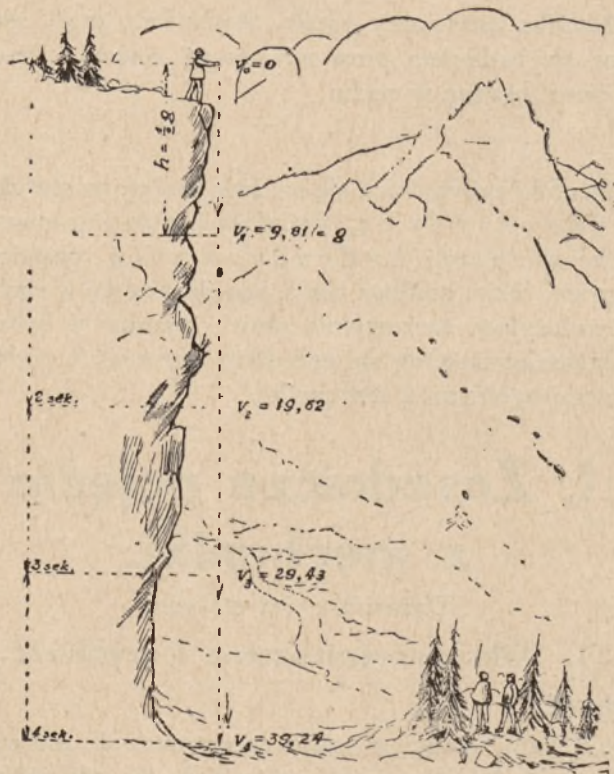
Przyczyna zewnętrzna nazywa się *siłą*.

Wielkość siły P , która masie (ciała) m , mogącej się swobodnie poruszać, nadaje przyspieszenie p , równa się iloczynowi masy m i przyspieszenia p , czyli

$$P = mp.$$

Dla łatwiejszego zrozumienia przytoczę następujący przykład:

Siła przyciągania ziemi, powodująca wagę G każdego ciała, wywołuje przyspieszenie prędkości spadania ciał po pionowej linii g .



Rys. 1.

Jeśli, stojąc nad b. głęboką studnią lub nad pionową przepaścią, wypuścimy z ręki kamień, to pod wpływem siły przyciągania ziemi kamień, spadając pionowo w dół, w pierwszej sekundzie nabierze szybkości 9,81 m, w drugiej dwa razy więcej czyli 19,62 m, w trzeciej trzy razy więcej itd. (rys. 1), czyli wpływ

siły przyciągania ziemi powoduje stałe powiększanie szybkości lecącego w dół ciała o 9,81; więc przyspieszenie będzie:

$$g = 9,81 \text{ m.}$$

Waga.

Ciało dane o masie m będzie ważyć

$$G = m \cdot g.$$

Oznaczmy przez h wysokość, którą ciało spadające w próżni przeleci w czasie t (sekund); przez v — szybkość ciała w tym punkcie.

Wtedy prędkość v będzie stanowiła iloczyn z przyspieszenia g i z czasu t , czyli

$$v = g \cdot t.$$

Jeśli np. ciało spada 3 sekundy, to końcowa szybkość jego będzie $v = 9,81 \times 3$; $v = 29,43 \text{ m}$; a przestrzeń przebyta h będzie średnia arytmetyczna z początkowej szybkości v_0 i z końcowej v czyli

$$h = \frac{v_0 + v}{2};$$

w pierwszej sekundzie ($t = 1$) $v = g$, więc stąd

$$h = \frac{0 + g}{2}; \text{ czyli } h = \frac{1}{2} g.$$

Dalszą wielkość drogi, którą przebiega rzucone ciało, oblicza się ze wzoru:

$$h = \frac{1}{2} g t^2,$$

a to z tego względu, że w ciągu każdej następnej sekundy szybkość wzrasta o przyspieszenie (g), a droga (h) zależy od zwiększającej się szybkości, która znów zależy od rosnącej ilości sekund ($v = g t$). Popularnie wytłumaczyć wzoru $h = \frac{1}{2} g t^2$ inaczej się nie da, gdyż wypływa on z całkowania, co już wkracza w dziedzinę wyższej matematyki¹⁾.

1) Wzór $h = \frac{1}{2} g t^2$ musimy przyjąć z góry, albowiem wypływa on z całkowania: $H = \int_0^t v \cdot dt$; $v = v_0 + g t$, gdzie v_0 — początkowa szybkość rzuconego ciała.

Stąd $H = \int_0^t (v_0 + g t) dt$; $H = v_0 t + \frac{1}{2} g t^2$. Jeżeli $v_0 = 0$, to $H = \frac{1}{2} g t^2$.

Posiłkując się wzorami:

$$h = \frac{1}{2} g t^2 \quad \text{i} \quad v = g t.$$

otrzymamy:

$$t = \frac{v}{g}; \quad t^2 = \frac{v^2}{g^2}.$$

Skąd

$$h = \frac{1}{2} g \frac{v^2}{g^2} \quad \text{i ostatecznie}$$

$$\underline{\underline{h = \frac{v^2}{2g}}}.$$

Zasadniczy wzór.

Jest to bodaj najważniejszy wzór w całej hydraulice i dlatego musimy się nieco zastanowić nad nim.

Widzimy, że po jednej stronie (lewej) znajduje się w równaniu wielkość h . Jest to, jak widzieliśmy uprzednio, wysokość przebytej przez dany ciężar pionowej drogi pod wpływem przyciągania ziemi, powodującego przyspieszenie g . Po drugiej (prawej) stronie równania w liczniku znajduje się szybkość (spadania) w drugiej potędze v^2 , a w mianowniku przyspieszenie g .

Szybkość więc (w danym punkcie spadania) w drugiej potędze, podzielona przez podwójne przyspieszenie odpowiada wysokości drogi przebytej (do danego punktu) przez spadające ciało.

Oczywiście, powyższe wielkości zachodzą w tym wypadku, kiedy ciało spada w próżni. W normalnych warunkach od powyższej wielkości należy odjąć wielkość, hamującą spадanie, wywołaną przez opór, jaki powstaje wskutek tarcia powietrza.

Ten sam wzór $h = \frac{v^2}{2g}$ daje się zastosować i w hydraulice

i ta wielkość $\frac{v^2}{2g}$ znajduje się prawie we wszystkich wzorach hydrodynamiki, zajmującej się cieczą w ruchu.

2. Ruch cieczy.

Każdą ciecz (ciało ciekłe) możemy traktować jako ciało stałe, ponieważ na nią działa tak samo siła przyciągania ziemi. Masy

wody, spadając w dół, czy to w postaci wodospadu pionowo, czy też jako potok po zboczu góry, podlegają tym samym prawom natury.

Wysokość spadu.

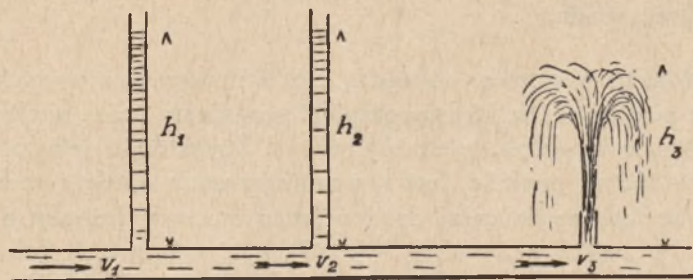
Różnica poziomów pomiędzy punktem wypływu wody (źródło), a poziomem, na którym określić pragniemy nasze wielkości, jest właśnie wysokość spadu h (rys. 2). Szybkość, z jaką płynie woda w danym punkcie, jest v , pomniejszona o różnego rodzaju opory, spotykane na całej drodze przez tarcie w łożysku o kamienie i brzegi, przez zmianę kierunków i zwężające się lub rozszerzające przekroje łożyska i t. p.



Rys. 2.

Wzór powyższy należy rozumieć i w ten sposób, że woda, przepływająca przez jakiegokolwiek naczynie (rurę, wąż) z określoną szybkością jest pod pewnym ciśnieniem, wytworzonym dzięki ciężeniu ziemi. Jeśli w jakimkolwiek miejscu danej rury, przez którą przepływa woda, wywiercimy otwór i wstawimy rurkę pio-

nową, to woda w rurce pod naporem przepływającej w rurce z pewną szybkością v wody podniesie się na wysokość zbliżoną do ciśnienia h według wzoru $h = \frac{v^2}{2g}$ (rys. 3).



Rys. 3.

Prąd wody w sikawce.

Na tej własności jest oparte działanie prądu wody z sikawki, gdzie woda już nie pod parciem siły przyciągania ziemi, a pod ciśnieniem, wywołanym przez siłę ludzi pompujących, a przeniesionym przez dźwignię na tłok, nabiera w wężu pewnej szybkości i przy podniesieniu prądownicy do góry bije na wysokość h , która jest nieco mniejsza od $\frac{v^2}{2g}$ wskutek oporu, jaki stwarza powietrze.

Teoretycznie jednak i tu $h = \frac{v^2}{2g}$.

Z tego samego wzoru daje się określić i szybkość przy danej wysokości spadającego ciała; tylko że wzór będzie wtedy miał postać:

$$v = \sqrt{2gh}$$

Po zapoznaniu się z siłą i przyspieszeniem oraz z szybkością, przechodzimy teraz do innych pojęć niezbędnych w mechanice: do określenia pracy i mocy.

3. Praca i moc.

Jeśli mamy określoną siłę P i zmusimy za pomocą niej jakiegokolwiek ciała do ruchu, podczas którego to ciało przebędzie drogę s w kierunku tej siły, to praca A określi się wzorem

$$A = P s.$$

Praca.

Pracą więc nazywamy iloczyn siły (stałej co do wielkości i kierunku) oraz drogi danego ciała, odbytej w kierunku i pod wpływem tejże siły.

Jednostką pracy jest kilogramometr, t. j. praca zużyta na podniesienie 1 kilograma na wysokość 1 metra.

Pracę można wykonać w ciągu dłuższego lub krótszego czasu. Im mocniejszy jest dany silnik, człowiek, zwierzę pociągowe lub maszyna, tym daną pracę jest w stanie wykonać szybciej. Przybywa więc nam jeszcze jedna wielkość: czas. Zestawienie trzech wielkości: siły — P , drogi — s i czasu — t daje nam moc — E .

Moc.

Moc równa się pracy odbytej w ciągu pewnej określonej ilości czasu.

Zatem

$$E = \frac{P \cdot s}{t}$$

Jednostką, przyjętą w technice do określenia mocy, jest t. zw. *koń mechaniczny*. Znak — KM.

Otóż *koń mechaniczny stanowi moc 75 kilogramometrów-sekund i wyraża pracę podniesienia 1 kilograma na wysokość 75 m lub 75 kilogramów na wysokość 1 metra w ciągu sekundy.*

W technice moc wszystkich parowych, wodnych i spalinyowych silników bywa określana miarą ilości koni mechanicznych.

4. Energia.

Energia pary.

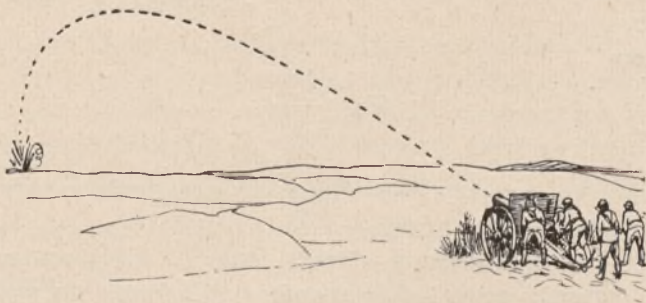
Przedstawmy sobie kocioł parowy, napełniony parą pod ciśnieniem kilku lub kilkunastu atmosfer²⁾). W kotle tym widzimy ukrytą siłę prężną pary, która po otwarciu zaworu parowego, łą-

²⁾ Atmosferą nazywa się ciśnienie, jakie na 1 cm² (centymetr kwadratowy) jakiegokolwiek powierzchni wywiera słup powietrza otaczającej naszą ziemię warstwy, której cząstki są przyciągane przez ziemię. Taki słup powietrza o przekroju 1 cm² waży (prawie) 1 kg. Parcie tego słupa na wodę jest w stanie podnieść ją w próżni na 10 metrów, a rtęć w barometrze jako 13,6 razy cięższą od wody na 76 cm.

czącego kocioł z maszyną parową, może wprawić ją w ruch, poruścić pędnię, ta zaś ze swej strony nadaje pęd obrabiarkom lub maszynom, wykonywującym pewną określoną pracę np. obróbkę metali, drzewa lub mielenie zboża i t. p.

Energia naboju.

Jako drugi przykład weźmy nabój armatni lub karabinowy, umieszczony w lufie. Proch, znajdujący się w łusce danego naboju, posiada też ukrytą siłę, która po spuszczeniu kurka na spłonkę i zapaleniu przez nią prochu, wywiązuje się z zapalonego prochu, dając ogromną ilość gazów, wyrzucających z olbrzymim impetem pocisk. Ten dolatuje do określonego celu, niszczy, rozbija, wysadza nieprzyjacielski obiekt, czyli wykonywa swoją *pracę* niszczycielską (rys. 4).



Rys. 4.

Energia akumulatora.

Jako trzeci przykład ukrytej siły może służyć akumulator. Po przeprowadzeniu od akumulatora do prądnika (elektromotoru) przewodników lub po włączeniu ich do instalacji oświetleniowej, wywiązuje się prąd i powoduje wykonywanie pewnej pracy, polegającej na wprawieniu np. w ruch silnika czy też rozżarzeniu włókienka w żarówkach.

Zatem w kotle parowym, w prochu naboju oraz w akumulatorze jest ukryta energia, zdolna do wykonania pracy. Jest to t. zw. *energia potencjalna*, t. j. pewien zapas pracy.

Energia wody.

Najlepszy przykład energii potencjalnej, inaczej zwanej *energją bezwładności* lub *możliwą*, dla naszych dalszych wywo-

dów z dziedziny hydrauliki stanowi woda, znajdująca się na pewnej wysokości.

Przedstawmy sobie jakiś zbiornik wody (staw lub zbiornik betonowy), umieszczony powyżej pewnego punktu. Ilość wody znajdującej się w zbiorniku określamy przez Q (quantum — ilość), wyrażoną w metrach sześciennych, a położenie zbiornika nad danym punktem przez h (pionowa wysokość w metrach).

Oznaczmy przez L_p — energię potencjalną.

Wiemy, że 1 m³ wody waży $\gamma = 1000$ kg., czyli waga G wody w zbiorniku będzie: $G = Q \cdot \gamma$.

Wtedy wzór dla energii potencjalnej wyrazi się:

$$L_p = Q \cdot \gamma \cdot h \text{ (kilogramometrów) lub } \underline{L_p = G \cdot h.}$$

Przykład.

Określmy naszą energię na przykładzie.

Przykład: Przypuśćmy, że dany zbiornik zawiera $Q = 600$ m³ wody i leży o 15 m wyżej od punktu, w którym chcemy postawić młyn lub tarak. Wtedy energia potencjalna będzie.

$$L_p = 600 \cdot 1000 \cdot 15; \quad L_p = 9,000,000 \text{ kilogramometrów.}$$

Dla lepszego wyjaśnienia naszego przykładu przypuśćmy, że chcemy postawić dla poruszania naszego młyna turbinę o mocy 10 koni (10 KM).

Na jak długo wystarczyłby zapas wody, gdyby dopływ jej do stawu (z rzeki zasilającej staw) był wstrzymany?

Moc turbiny będzie:

$$E = \frac{P \cdot s}{t},$$

gdzie nasza siła jest: $P = Q \gamma$ kg; droga przebyta $s = h$ metrów; moc turbiny $E = 10$ KM i $t =$ czas pracy turbiny w sekundach.

Wstawiamy do naszego równania powyższe cyfry i dzielimy drugą część równania przez 75 k_gm/sek. aby mieć i tu ogólną moc, wyrażoną w koniach mechanicznych, co wynika z równania.

Otrzymamy wtedy:

$$10 = \frac{600 \cdot 1000 \cdot 15}{75 t};$$

skąd

$$t = \frac{600 \cdot 1000 \cdot 15}{75 \cdot 10};$$

$$t = 12000 \text{ sekund czyli } = 3,3 \text{ godziny.}$$

Zapas więc wody 600 m³ wystarczy dla naszej turbiny na przeszło 3 godziny. Biorąc jednak pod uwagę straty energii, spowodowane przez tarcie płynącej wody w kanale, przy zmianach kierunku, (o czym będzie mowa

w części traktującej o hydrodynamice), straty w samej turbinie (spółczynnik wydajności pracy dla turbin $\eta = 0,72 - 0,77$ ³⁾), praca tego silnika będzie trwała krócej.

Lecz należy wziąć pod uwagę, że turbiny ustawia się zawsze na bieżącej wodzie (potoku, rzece), a przy tym z takim wyrachowaniem, aby wody nigdy nie brakło, i w takim miejscu, gdzie spad jest dostateczny, przeto przy obliczaniu danego silnika główną rolę poza wysokością spadu gra ilość wody, dopływającej do stawu z rzeki (rys. 5).



Rys. 5.

Energia kinetyczna.

Przejdziemy teraz do *energii kinetycznej*, inaczej zwanej *pracą rozpędu*.

Energia kinetyczną nazywa się praca jakiegokolwiek ciała, o masie m, będącego w ruchu.

³⁾ Spółczynnikiem wydajności pracy (η) jakiegokolwiek silnika (motoru) nazywa się stosunek istotnej wydajności pracy do teoretycznej. Różnica między wydajnością istotną i teoretyczną powstaje wskutek pewnych strat i niedokładności w budowie silnika, jak szkodliwe przestrzenie, nieszczelności i t. p.

Kinetyczna energia wyraża się znakiem L_k i posiada wzór:

$$L_k = \frac{1}{2} m v^2.$$

Czyli *praca rozpędu (energia kinetyczna) stanowi połowę iloczynu z masy m i z kwadratu jej prędkości v .*

Dojść możemy do powyższego wzoru przez odpowiednie zmodyfikowanie wzoru energii potencjalnej, a mianowicie:

Z tego, co było powyżej, pamiętamy, że waga danego ciała wyraża się przez iloczyn z masy tego ciała m i z przyspieszenia g , czyli $G = m g$.

Energia potencjalna jest, jak wiadomo:

$$L_p = G h$$

czyli:

$$L_p = m g h.$$

Zamiana energii potencjalnej na kinetyczną.

Podstawowym wzorem w hydraulice, jak widzieliśmy wyżej, jest wzór: $h = \frac{v^2}{2g}$ określający, że w pewnej wysokości h , z której spada dane ciało, rozwija się szybkość v w drugim stopniu pod wpływem przyspieszenia ciężkości g .

Wstawiając więc do naszego wzoru:

$$L = m g h.$$

zamiast h jego wielkość $\frac{v^2}{2g}$, czyli zamieniając przez to energię potencjalną na energię kinetyczną, otrzymamy:

$$L_k = m g \cdot \frac{v^2}{2g}; \quad L_k = \frac{1}{2} m v^2.$$

Widzimy, że i w tym wypadku klasyczny nasz wzór $h = \frac{v^2}{2g}$ ma pierwszorzędne znaczenie i jest symbolem zmiany energii potencjalnej na pracę rozpędu (energii kinetyczną).

Na zakończenie wykładu o zasadniczych pojęciach z mechaniki, potrzebnych do dalszej nauki o hydraulice, należy jeszcze wspomnieć o ruchu.

5. Ruch.

Jeśli jakieś ciało w różnym czasie zajmuje różne położenie, to ono jest w ruchu

Zależność ruchu od siły i mocy.

Widzieliśmy na początku, że *przyczyna, wywołująca ruch, nazywa się siłą*. Jedna i ta sama siła nadaje ciałom o różnych masach różną prędkość. Prędkości te mają się odwrotnie do poruszonych mas: im masa jest większa, tym przy tej samej sile szybkość jej jest mniejsza i odwrotnie.

Weźmiemy dla przykładu dwa parowozy o jednej i tej samej mocy i sprzęgniemy: jeden z niewielkim składem wagonów osobowych, a drugi z długim pociągiem naładowanych wagonów towarowych. Rozumie się, że pierwsza maszyna, mając do poruszania niewielką masę, rozwinie z łatwością szybkość daleko większą, niż parowóz drugi, ciągnący wolno z dużym wysiłkiem ciężki pociąg towarowy.

Ruch jednostajny.

Ruch ciał bywa *prostoliniorny* lub *krzywoliniorny*, *jednostajny* lub *zmienny*.

Jeśli na dane ciało, znajdujące się w próżni i nie podlegające ciężeniu ziemskiemu, działa pewna siła tylko przez moment, to ruch wywołany przez tę siłę będzie zawsze *prostoliniorny* i *jednostajny*, a to z powodu zasady bezwładności (inercji). Ciało więc będzie pędzić w jednym i tym samym kierunku, to zn. po prostej linii i z jedną i tą samą szybkością.

Ruch zmienny.

Widzieliśmy na początku wykładu, że jeżeli na ciało będzie działać stale jakaś siła w kierunku ruchu, to będzie ona wywoływać przyspieszenie i ruch wtedy będzie *zmienny*, t. j. szybkość będzie stale wzrastać.

Jeśli natomiast na będące w ruchu ciało jakaś siła będzie stale działać w kierunku przeciwnym do kierunku biegu ciała, to szybkość stale będzie się zmniejszać, czyli ruch również będzie *zmienny*.

Przykład.

Przykład. — Jako przykład służy kamień wyrzucony z procy w kierunku pionowym. Otóż na kamień będą działać w linii jego pionowego ruchu trzy siły: a) siła rzutu w kierunku biegu, b) siła przyciągania ziemi, wywołująca przyspieszenie szybkości g , w kierunku przeciwnym i c) opór powietrza q , również w kierunku przeciwnym.

Szybkość więc lecącego w górę kamienia pod wpływem tych obu przeciwnych sił, szybko będzie się zmniejszała z każdą sekundą: $v = V_0 - (g + q)t$ (rys. 6a), aż dojdzie do zera i wtedy na kamień będą działały już tylko dwie siły: przyciągania ziemi, która zmusi kamień do spadania po linii pionowej, i opór powietrza, który będzie działał i tu hamująco. Ponieważ jednak siła przyciągania ziemi jest daleko większa od siły stawianej przez opór powietrza, przeto również przyspieszenie będzie zwiększało szybkość $v = (g - q)t$ i kamień upadnie na ziemię, czyli podczas całego swego biegu w górę i z powrotem ruch kamienia jest *zmienny* (rys. 6b).

Widzieliśmy uprzednio, że prędkość danego ciała v stanowi iloczyn z przyspieszenia g i z czasu t , dodany do początkowej prędkości v_0 , czyli $v = v_0 + g t$.

Droga przebiegu ciała będzie: $H = v_0 t + \frac{1}{2} g t^2$.

Dotyczy to ruchu przyspieszonego. Natomiast przy ruchu jednostajnie opóźnionym, wzory te będą następujące: $v = v_0 - g t$ i $H = v_0 t - \frac{1}{2} g t^2$.

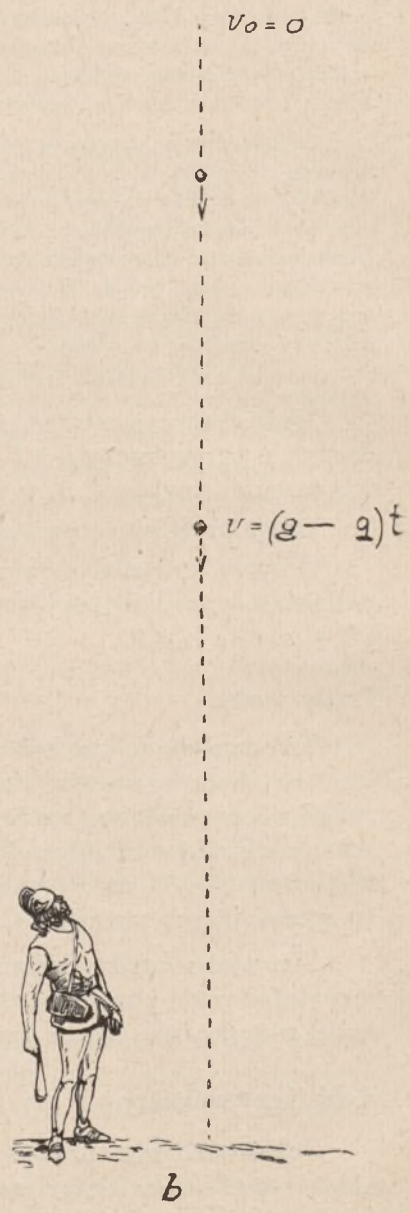
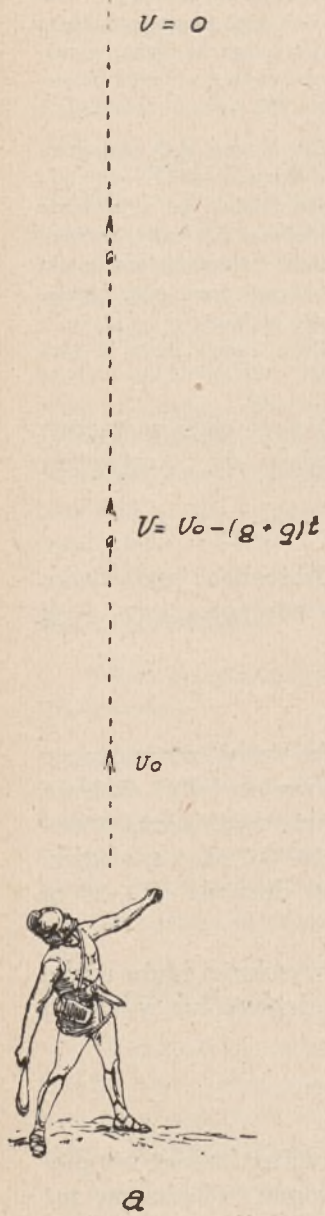
Prądy wody.

To samo da się zastosować i do prądu wody, wyrzucanego pionowo przez puszczek prądownicy. Wskutek siły ciężenia ziemi i oporu powietrza każdy prąd ma bardzo ograniczoną wysokość: z sikawki ręcznej prąd jest wysoki 18—22 m, a z sikawki silnikowej 25—35 m, z wysokociśnieniowej dochodzi 40—50 m (w sprzyjających warunkach).

Siła wiatru bardzo ujemnie działa na wysokości rzutu wody, rozpylając wodę i znacznie zmniejszając odległość lub wysokość rzutu, o czym dalej będzie jeszcze mowa.

Ruch krzywolinijny.

Jeżeli nachylimy prądownicę lub wyrzucimy kamień nie pionowo, a pod kątem, dajmy na to 35—50 stopni, to będziemy już mieli ruch *krzywolinijny*, gdyż na kamień lub na wodę będzie działać pionowa siła ciężkości nie w kierunku ruchu, lecz pod kątem i spowoduje krzywiznę.

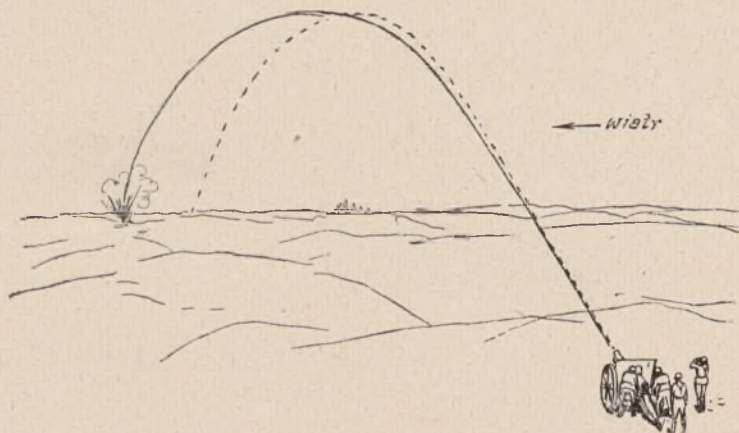


Rys. 6.

Balistyka.

Gdyby nie było oporu powietrza, to ruch wyrzuczonego pod kątem kamienia lub prądu wody odbywałby się po *paraboli*. Ponieważ na dane ciało, wyrzuczone pod pewnym kątem, działają siły ciężenia ziemi, oporu powietrza oraz wiatru, przeto obliczenie drogi ciała jest bardzo skomplikowane. Nauka, omawiająca krzywiznę torów, jakie przebywają pociski pod wpływem powyższych sił, nazywa się „*balistyką*“.

Jeśli weźmiemy pod uwagę siłę wiatru, to droga pocisku pod wpływem czterech sił, a mianowicie siły wybuchu prochu (wyrzutu pocisku), siły ciężenia, siły oporu powietrza i siły wiatru będzie krzywą 4-go stopnia t. j. nie leżącą w jednej płaszczyźnie. (rys. 7).



Rys. 7.

Jeżeli zastanowimy się jeszcze nad wpływami atmosferycznymi (deszcz, śnieg, osiadające na pocisku), nad szybkością posuwającego się czołgu lub pędzącego wysoko samolotu, to widzimy, jak trudne są obliczenia i jak muszą być skomplikowane równania i wzory balistyki, zwłaszcza przy obliczeniach dróg pocisku artylerii przeciwlotniczej, gdzie trzeba do tego wszystkiego jeszcze określić wysokość, na jakiej leci samolot, i szybkość jego lotu. (rys. 8).



Rys. 8.

Ruch wirowy.

Na zakończenie tego zwięzłego wykładu z mechaniki muszę poruszyć sprawę ruchu wirowego, na którym oparty jest system budowy sikawek odśrodkowych, najlepszych i najwięcej obecnie wszędzie wprowadzonych.

Jeśli jakieś ciało o masie m posiada ruch wirowy, t. j. krąży w danej płaszczyźnie naokoło jakiegokolwiek punktu, i środek jego ciężkości posiada prędkość v na łuku o promieniu r , to prędkość kątowa ω będzie (rys. 9):

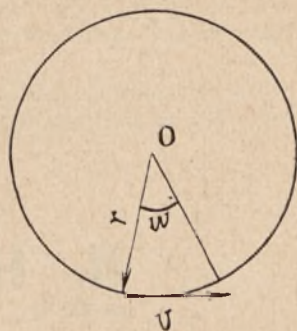
$$\omega = \frac{v}{r}$$

Siła odśrodkowa C , wywołująca się wskutek tego ruchu, naciskająca na każdy punkt łuku w kierunku od środka, będzie:

$$C = m \cdot \frac{v^2}{r}$$

Wstawiając zamiast v^2 — $(\omega r)^2$, otrzymamy

$$C = m \omega^2 \cdot r$$



Rys. 9.

Siła odśrodkowa.

Siła odśrodkowa danego ciała o masie m zależy w prostym stosunku od masy m i od promienia łuku r , po którym krąży, oraz od prędkości kątowej w drugiej potęgze ω^2 .

Dlatego też przy budowie siławek odśrodkowych konstruktorzy dla wywołania odpowiedniego powiększenia ciśnienia mniej biorą pod uwagę średnicę wirnika; natomiast dążą do zwiększenia ilości obrotów silnika, wskutek czego w drugiej potęgze zwiększa się prędkość kątowa ω , a przez to w wysokim stopniu wzrasta ciśnienie.

Teraz przechodzimy do właściwej nauki hydrauliki.

Hydrauliką nazywa się część mechaniki, zajmująca się badaniem praw, jakim podlega każda ciecz (woda), znajdująca się w równowadze lub też w ruchu.

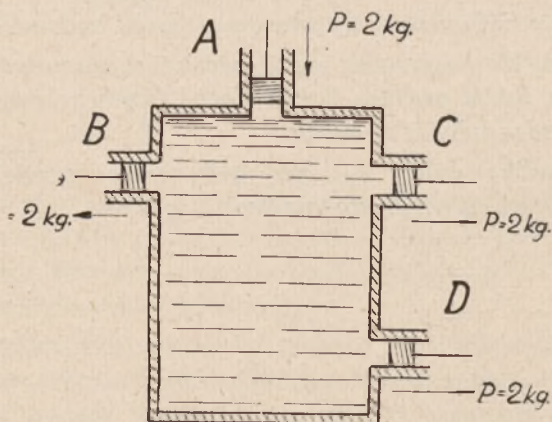
Hydraulika dzieli się, jak było wyżej powiedziane, na hydrostatykę i na hydrodynamikę.

II. Hydrostatyka.

Hydrostatyka, jest to część hydrauliki zajmująca się badaniem praw ciecży, będącej w równowadze. Prawa te są następujące: Prawo Pascal'a, Prawo Archimedes'a, Równowaga ciecży w naczyniach połączonych.

1. Prawo zasadnicze Pascal'a.

Jeżeli jakakolwiek ciecz znajduje się pod ciśnieniem, pozostając w równowadze, to ciśnienie rozprzestrzenia się w niej równomiernie we wszystkich kierunkach w ten sposób, iż każda cząstka ciecży podlega jednakowemu ciśnieniu.



Rys. 10.

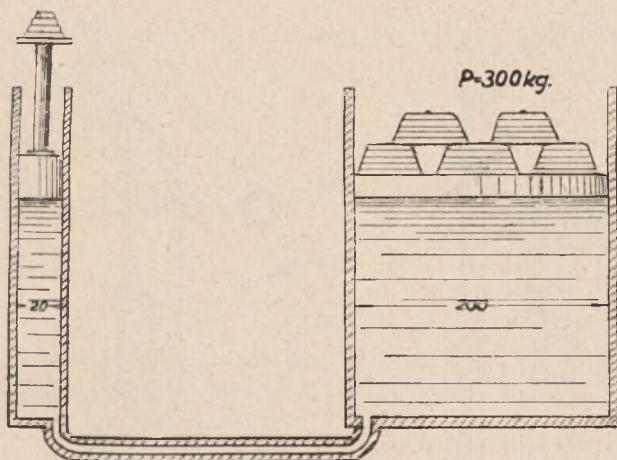
Przykład 1. Dla łatwiejszego przedstawienia tego zasadniczego prawa hydrauliki wyobraźmy sobie zbiornik, napełniony wodą (rys. 10), w którym

jest kilka otworów, zakończonych rurkami o jednakowej średnicy, zamkniętych szczelnie dopasowanymi tłokami.

Jeżeli w punkcie *A* będziemy naciskać na tłok z siłą *P* równą np. 2 kg, to taka sama siła *P* (2 kg) będzie wywierać ciśnienie na pozostałe trzy tłoki w punktach *B*, *C*, *D*.

Przykład 2. Bierzemy teraz w drugim przykładzie dwa pionowe cylindry o różnych średnicach napełnione płynem, zamknięte tłokami, połączone z sobą u spodu rurą (rys. 11).

$$P=3 \text{ kg.}$$



Rys. 11.

Jeśli na tłok o średnicy $d = 20$ mm działa ciężar 3 kg, to aby utrzymać płyn w równowadze, tj. zapobiec podniesieniu się tłoka o średnicy $D = 200$ mm, należy położyć na ten tłok ciężar tyle razy większy, ile razy jest większa powierzchnia tego tłoka D od powierzchni tłoka d , a więc

$$x = 3 \frac{\pi D^2}{\pi d^2}; \quad x = 3 \cdot \frac{D^2}{d^2}; \quad x = 3 \cdot \frac{40000}{400}; \quad x = 300 \text{ kg.}$$

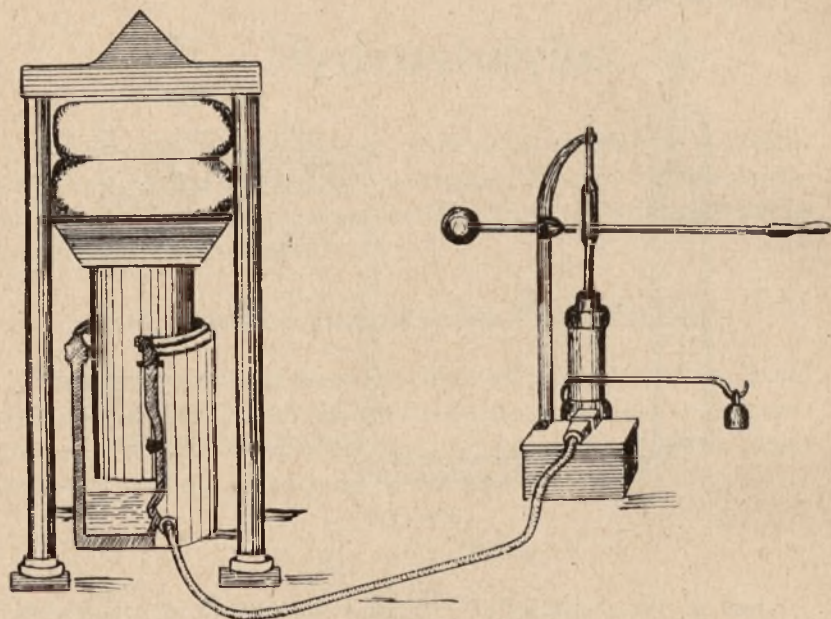
Na tej właśnie zasadzie jest zbudowana *prasa hydrauliczna*.

Prasa hydrauliczna.

Rys. 12 przedstawia taką prasę. Składa się ona z cylindra i tłoka o dużej średnicy. Tłok zakończony jest płytą, na której układane są ciała, przeznaczone do ścieśniania. Płyta przyciska

dane ciało do płyty górnej oporowej, związanej 4-ma stalowymi kolumnami z podstawą prasy.

Cylinder, w którym chodzi tłok z płytą ruchomą, jest połączony rurką z pompą (P), mającą niewielki tłok (d) oraz zawór bezpieczeństwa (z). Im większa jest różnica obu średnic tłoków, dużego (D) i małego (d), tym większe ciśnienie można wywrzeć mniejszą siłą tłoczącą płyn (wodę lub oliwę) w pompie.



Rys. 12.

Jaką siłą ciśnienia w prasie hydraulicznej wytworzy pompa o średnicy tłoka $d = 90$ mm, jeśli średnica dużego tłoka prasy (D) jest 800 mm, a na rączkę pompy działamy z siłą $p = 40$ kg; przy czym stosunek ramion dźwigni w pompie jest $R : r = 5$. Siła, z jaką działamy na tłok w pompie, będzie

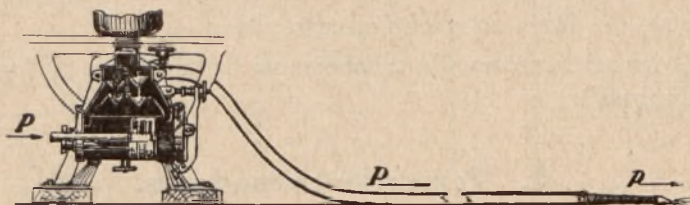
$$P = p \cdot \frac{R}{r}; P_1 = 40 \cdot 5; P_1 = 200 \text{ kg.}$$

Siła działająca na tłok w prasie P_2 będzie o tyle większa, o ile powierzchnia tłoka w prasie jest większa od powierzchni tłoka w pompie, czyli

$$P_2 = P_1 \cdot \frac{\pi D^2}{\pi d^2}; P_2 = P_1 \cdot \frac{D^2}{d^2}; P_2 = 200 \frac{(800)^2}{(90)^2}$$

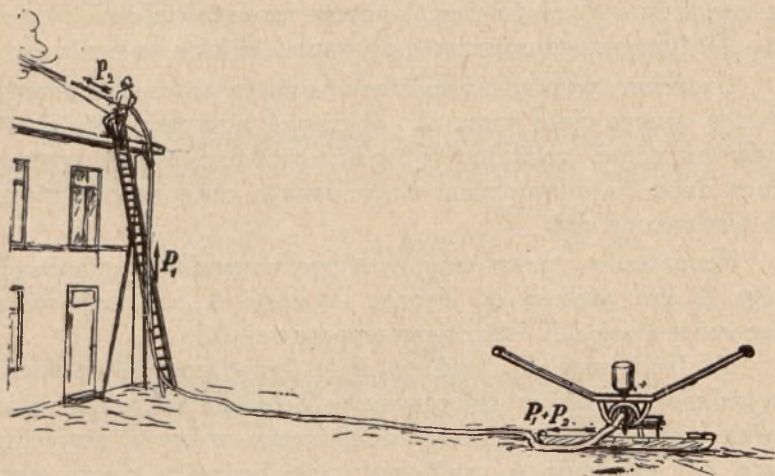
Stąd otrzymamy $P_2 = 16.000$ kg.

To prawo ma ogromne znaczenie w działaniu sikawek, ciśnienie bowiem, jakie wywiera tłok na wodę, znajdującą się w cylindrze sikawki, rozprzestrzenia się na wodę, nie tylko napełniającą komorę, ale i na wodę w wężu tłocznym i w prądownicy. Dzięki temu prawu możemy, tłocząc wodę w samej ma-



Rys. 13.

szynie, otrzymać wysokie ciśnienie w prądownicy i pyszczku i spowodować wytrysk silnego prądu (rys. 13). Widzimy tu, że ciśnienie (P_2), jakie wywiera tłok na wodę w cylindrze, rozprze-



Rys. 14.

strzenia się i po wężu i dochodzi do pyszczka. Będzie ono tu nieco mniejsze z powodu oporów, o czym będzie mowa w hydrodynamice.

Jako drugi przykład zastosowania prawa Pascal'a (rys. 14) może posłużyć sikałka, której linia tłoczna prowadzi na dach paropiętrowego domu. Słup wody, znajdujący się w pionowej części linii węzowej, wywierając co 10 metrów około 1 at. ciśnienia, przenosi je i na wodę, znajdującą się w sikałce i utrudnia tym samym pompowanie, które wymaga siły zwiększonej, a mianowicie część siły pompujących (P_1) zużywa się na przezwyciężenie powyższego ciśnienia, a dopiero nadmiar siły (P_2) spożytkowuje się na wytwarzanie w prądownicy ciśnienia, potrzebnego do dania na dachu silnego prądu.

Zwiększona zatem siła pompowania będzie $P_1 + P_2$ (oporów nie wliczamy).

2. Prawo Archimedes'a.

Wypór (ciśnienie wypierające w cieczy) danego ciała równa się wadze cieczy, wypartej przez to ciało.

Pływanie statku.

Jeśli pogrążymy w cieczy jakiegokolwiek ciało, to traci ono na wadze tyle, ile waży ciecz, wyparta przez to ciało.

Na tym prawie opiera się pływanie statków na wodzie.

Oznaczmy wypór, t. j. ciśnienie wypierające cieczy przez A , a wagę danego ciała przez K . Wypór A skierowuje się prostopadle ku górze, działając w środku ciężkości cieczy, wypartej przez dane ciało, natomiast waga danego ciała zawsze kieruje się pionowo na dół.

Rozpatrzmy teraz trzy możliwe wypadki a mianowicie: waga K jest większa od wyporu A , waga K jest mniejsza od wyporu A i waga K jest równa wyporowej A .

a) Jeśli waga $K > A$, to ciało tonie, (rys. 15) ponieważ wypadkowa $K - A$ jest skierowana na dół. Jednak waga ciała K będzie zmniejszona w cieczy o wagę cieczy, wypartej przez duże ciało, t. j. o wypór A , czyli dane ciało będzie w cieczy ważyć tylko $K - A$.

b) Jeżeli waga $K < A$, (rys. 16) to wypadkowa $A - K$ będzie skierowana ku górze i będzie podtrzymywać ciało w cieczy, będzie ono pływać, przy czym pogrąży się w ciecz tylko część ciała, a waga wypartej cieczy będzie się równała wadze całego

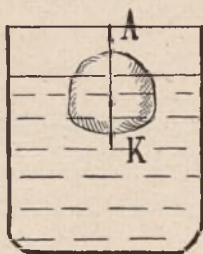
ciała. Wobec tego część ciała wzniesie się nad powierzchnię cieczy.

Za przykład mogą służyć: okręty, parowce i t. p.

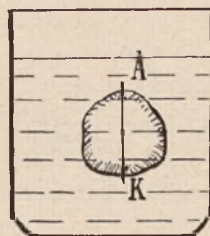
c) W wypadku, gdy $K = A$, ciało zawisa w cieczy, ponieważ wypadkowa obu sił $K - A = 0$. (rys. 17).



Rys. 15.



Rys. 16.

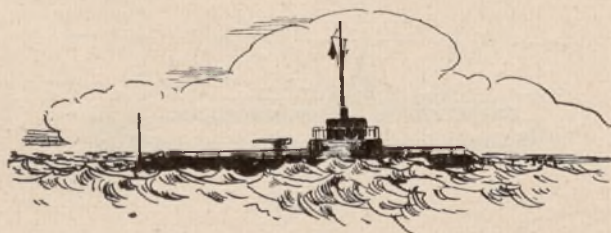


Rys. 17.

Łódź podwodna.

Za przykład może tu służyć łódź podwodna, posiadająca po obu bokach, a również nieraz z przodu i z tyłu cały szereg komór wodnych, które po otwarciu odpowiednich klap mogą być momentalnie napełnione wodą lub też przy puszczeniu w ruch specjalnych pomp — szybko opróżnione z wody.

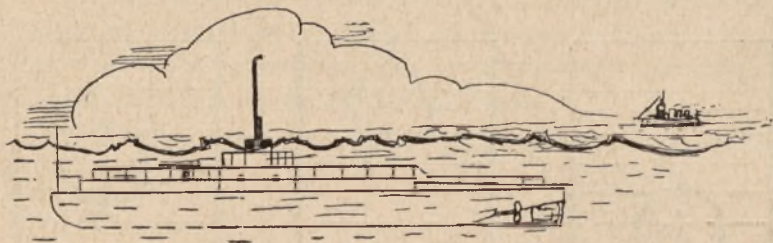
Łódź podwodna zazwyczaj płynie nad wodą (rys. 18), posiłkując się silnikami Diesl'a, które, oprócz wprowadzenia w ruch



Rys. 18.

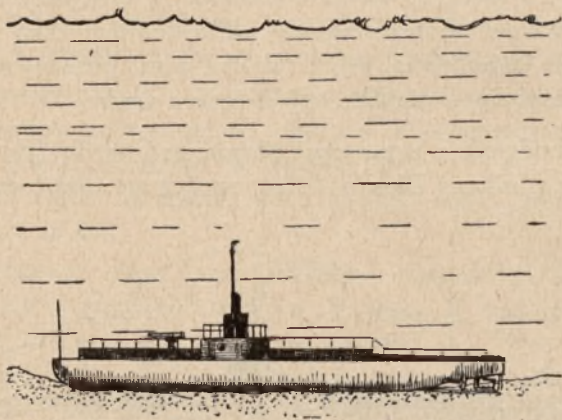
śruby napędowej, ładują przy pomocy prądnicy (dynamo-maszyny) akumulatory, znajdujące się w łodzi w potężnych bateriach w bardzo znacznej ilości. Wtedy $A > K$.

W razie zoczenia nieprzyjaciela, na dany rozkaz otwiera się część klap wodnych (kingstonów) i niektóre komory napełniają się wodą, przy czym ogólny wypór stopniowo się zwiększa, a jednocześnie zwiększa się (przez napełnienie wodą komór) i ogólna waga łodzi K ; gdy K zrówna się z A , wtedy łódź zagłębia się w wodę (rys. 19) i zawisa w niej pod powierzchnią mo-



Rys. 19.

rza. Przy dalszem napełnianiu pozostałych komór, K stopniowo się zwiększa i łódź zanurza się głębiej. Tu natrafia na warstwy wody, będącej pod większym ciśnieniem, a zatem więcej gęste. Wskutek tego zgęszczenia wody wypór A tym sa-



Rys. 20.

mym się zwiększa i łódź, pogrążywszy się powiedzmy na 30 metrów, zawisa również wskutek równowagi, gdyż $K = A$.

W razie potrzeby pozostania pod wodą przez dłuższy czas, jeśli dno nie leży zbyt głęboko, łódź osiada aż na dnie, gdzie przebywa nieruchomo. Wtedy wskutek większego jeszcze na-

pełnienia komór wodą ciężar łodzi K staje się większy od A (rys. 20).

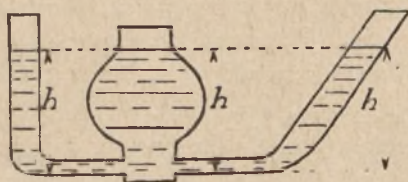
Gdy zachodzi potrzeba wynurzenia się łodzi lub zbliżenia się do powierzchni wody, wtedy uruchamiane są przy pomocy prądu z akumulatorów specjalne pompy, opróżniające komory wodne. Ciężar łodzi K staje się stopniowo coraz mniejszy; łódź trafia na warstwy wyższe coraz mniej gęste, więc i wypór A staje się coraz mniejszy; jednak równowaga $K = A$ jest ciągle zachowana aż do zetknięcia się pokładu łodzi i wieży z powierzchnią wody, po czym, na skutek dalszego opróżniania komór z wody, K staje się mniejszy od A i łódź wypływa na powierzchnię morza.

Jako przykład z praktyki strażackiej może posłużyć wąż ssawny jakiegokolwiek sikawki.

Strażak, skoro tylko zanurzy smok węża w zbiorniku, od razu odczuwa zmniejszający się ciężar tego węża i to tym więcej, im dalej dany wąż zagłębia się w wodę, bo wypór A jest coraz większy. Przy wyjmowaniu węża ssawnego dzieje się odwrotnie: w miarę wydobywania go ze zbiornika, wąż coraz więcej nam ciąży, gdyż waga (K) jest jedna i ta sama, a natomiast wypór (A) coraz się zmniejsza.

3. Równowaga cieczy w naczyniach połączonych.

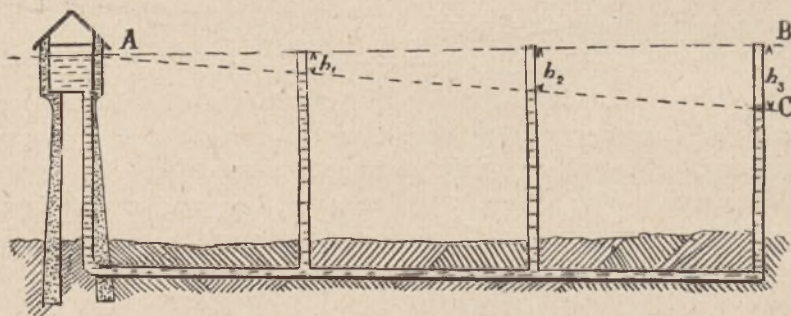
Ciecz w kilku naczyniach połączonych zawsze ma jednakowy poziom, bez względu na formę i wielkość tych naczyń.



Rys. 21.

Na rys. 21-m widzimy wyraźnie, że dana ciecz utrzymuje się na jednym i tym samym poziomie, pomimo bardzo różnorodnych form naczyń połączonych z sobą. Poza tym ciśnienie, jakie wywiera ciężar słupa cieczy na dno naczynia, zależy nie od formy naczynia, a tylko od wysokości słupa cieczy.

Na podstawie tego prawa budowane są wodociągi w miastach i na stacjach kolejowych. Słup wody, wysoko podniesionej na wieży ciśnień, wywiera, na zasadzie tego prawa, ciśnienie, dążące do utrzymania w całej sieci (nie licząc oporów) jednakowego poziomu. Jeśli otworzymy więc w którymkolwiek miejscu hydrant, to nastąpi silny wytrysk. Dzięki temu prawu woda w sieci wodociągowej dochodzi do najwyższych pięter, o ile oczywiście położenie tych pięter będzie niższe od poziomu wody na wieży ciśnień, albowiem wskutek różnego rodzaju oporów w sieci rur wodociągowych poziom wody w różnych punktach miasta będzie nieco niższy: im dalej od wieży ciśnień, tym poziom będzie tam niższy i ciśnienie mniejsze.



Rys. 22.

Rys. 22-gi przedstawia graficznie te straty. Linia poziomu teoretycznego AB nazywa się *linią hydrostatyczną*, a linia faktycznego zmniejszania się ciśnienia nosi nazwę *linii ciśnienia hydraulicznego* AC . Różnica poziomów obu linii w różnych punktach jest właśnie powodowana stratą ciśnienia wskutek różnego rodzaju oporów (h_1 , h_2 i t. d.).

Po zobrazowaniu tych kilku praw z dziedziny hydrostatyki wypada z kolei zająć się hydrodynamiką, która w pożarnictwie gra rolę dominującą.

III. Hydrodynamika.

Hydrodynamiką nazywa się część hydrauliki, zajmująca się badaniem zjawisk, zachodzących w czasie ruchu cieczy.

Hydrodynamika poucza o wypływie cieczy z naczyń, o jej przepływie w przewodach, podaje szereg wzorów, dotyczących różnego rodzaju oporów, które powstają podczas tego przepływu, bada wytryski i t. zw. wzloty i przeloty (wysokości i długości prądów) i t. p. zjawiska.

Zadania hydrotechniki.

Z tych wszystkich zagadnień największe znaczenie dla pożarnictwa mają następujące: zasady przepływu cieczy przez przewód, straty ciśnienia zużytego na wywołanie prędkości cieczy, opory przyspieszenia, opory tarcia, opory przy zmianie przekrojów, opory przy zmianie kierunków i wreszcie wzloty i przeloty.

Rozpatrzmy je po kolei.

1. Zasady przepływu cieczy przez przewód.

Ciśnienie i szybkość przepływu cieczy przez jakikolwiek przewód znajdują się zawsze we wzajemnej zależności.

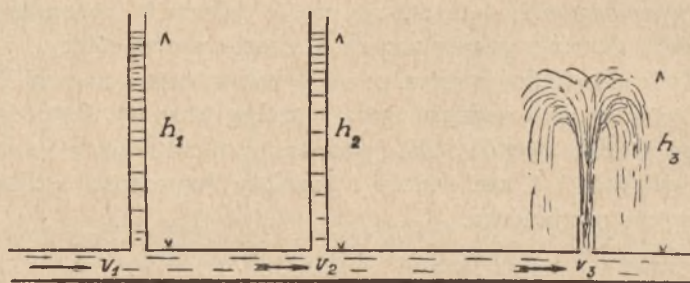
Szybkość wody i ciśnienie.

Ilość przepływającej cieczy zależy od szybkości przepływów w różnych punktach przewodu, jak również - i od powierzchni przekrojów danego przewodu w tych punktach.

Podczas rozpatrywania zasadniczych pojęć z mechaniki w dziale 1-m p. t. „Siła, przyspieszenie i szybkość“ określiliśmy zasadniczy wzór:

$$h = \frac{v^2}{2g}$$

i w dziale 2-m, traktującym o *ruchu cieczy*, doszliśmy do wniosku, że ciśnienie h , pod którym znajduje się w danym punkcie przewodu ciecz, wywołuje szybkość tej cieczy v i odwrotnie szybkość, z jaką płynie w danym przewodzie ciecz, powoduje odpowiednie ciśnienie h , które w danym punkcie może wywołać wytrysk na wysokość nieco mniejszą od teoretycznej wysokości ciśnienia h , wskutek oporu powietrza (patrz rys. 23).



Rys. 23.

Co zaś się tyczy wzajemnego uzależnienia ilości przepływającej cieczy od szybkości przepływu i od powierzchni przekroju, to stosunek ten wyraża się bardzo prostym wzorem:

$$Q = F_1 v_1 = F_2 v_2 = F_3 v_3 \dots \text{ i t. d. gdzie}$$

Q — ilość wody przepływającej przez dany przewód,

F_1 — powierzchnia przekroju w metrach w danym punkcie przewodu,

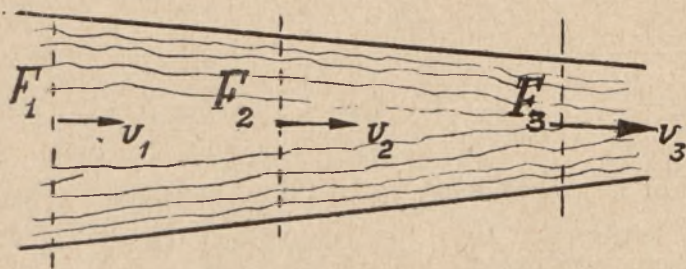
v_1 — szybkość cieczy w metrach na sekundę w tym samym punkcie,

F_2 — powierzchnia przekroju w drugim punkcie,

v_2 — szybkość cieczy w drugim punkcie i t. d. (rys. 24).

Ze wzoru $F_1 v_1 = F_2 v_2$ wynika, że dla przepływu w określonym czasie jednej i tej samej ilości cieczy szybkość jej powinna być tym większa, im mniejsza jest powierzchnia przekroju i odwrotnie.

Przykład. Przykład, rzucający się w oczy, stanowi potok górski lub rzeka, której brzegi raz się zwężają, to znów rozszerzają, przy czym dno jest albo płytkie, albo też napotyka się głębie. Łódź, płynąca po tego rodzaju rzece, w miejscach o rozszerzonych brzegach i głębszym dnie (powierzchnia przekroju



Rys. 24.

duża) posuwa się wolniej, natomiast przy zbliżonych do siebie brzegach i płytkim dnie (powierzchnia przekroju mała), woda tworzy rwący potok, nabierając większej szybkości.

Przytoczony powyżej wzór znajduje również stałe zastosowanie przy obliczaniu oporów, powstających przy zmianach przekrojów przewodów, o czym przekonamy się poniżej.

Obliczanie ciśnienia w pyszczku.

Posiłkując się tym wzorem, możemy przeprowadzić różnego rodzaju obliczenia, dotyczące szybkości wody przy różnego rodzaju średnicach pyszczka.

Jeśli woda w węźu tłocznym 52 mm \varnothing posiada szybkość 3 m, to szybkość ciśnienia prądu w pyszczku 10 mm \varnothing będzie następująca:

- Oznaczamy szybkość prądu w pyszczku przez v_p .
- „ „ „ „ wężu przez v ($= 3$ m).
- „ ciśnienie wody w pyszczku przez h_p .
- „ średnicę węża tłocznego przez d ($= 52$ mm).

Oznaczamy średnicę pyszczka przez d_p ($= 10$ mm).

Ze wzoru $F \cdot v = F_p \cdot v_p$ wynika:

wstawiając zamiast F i F_p ich wielkości, t. j.

$$\frac{\pi d^2}{4} \cdot v \quad \text{i} \quad \frac{\pi d_p^2}{4} \cdot v_p$$

otrzymamy

$$\frac{\pi d^2}{4} \cdot v = \frac{\pi d_p^2}{4} \cdot v_p$$

stąd

$$v_p = \frac{\pi d^2 \cdot v \cdot 4}{4 \pi d_p^2}; v_p = \frac{d^2}{d_p^2} \cdot v; v_p = \frac{(0,052)^2}{(0,010)^2} \cdot 3; v_p = 27 \text{ m.}$$

Ciśnienie

$$h = \frac{(v_p)^2}{2g}; h = \frac{(27)^2}{2 \cdot 9,81}; h = \sim 37 \text{ m} \text{ czyli } \sim 3,7 \text{ atm.}$$

Jest to bardzo dobry i silnie biczujący prąd.

Określenie wydajności.

Obliczmy wydajność tego prądu, t. j. ilość wody, podawanej na minutę.

Posiłkujemy się naszym wzorem

$$Q = F_p \cdot v_p.$$

$$Q = \frac{\pi \cdot (0,01)^2}{4} \cdot 27 \quad Q = 0,00212 \text{ m}^3 \text{ w sekundzie}$$

czyli

$$Q = 0,00212 \cdot 1000 \cdot 60 = 12 \text{ litr. wody na minutę.}$$

2. Straty ciśnienia dla wytworzenia prędkości.

Aby wywołać ruch w cieczy, pozostającej w bezruchu w rurze ssawnej sikawki lub pompy, trzeba zużyć pewne ciśnienie.

Strata ogólna ciśnienia, zużytego na wywołanie ruchu cieczy w rurze ssawnej, wyrazi się wzorem:

$$h_{pr} = \frac{v_{pr}^2}{2g}$$

Jeśli np. szybkość przepływu wody w węźu ssawnym sikawki będzie 2 m/sek., to strata ciśnienia wyniesie:

$$h_{pr} = \frac{(2)^2}{2 \cdot 9,81}; h_{pr} = \sim 0,2 \text{ m.}$$

3. Opór przyspieszenia.

Oporem przyspieszenia masy cieczy ssanej (przez sikawkę lub pompę) nazywamy ciśnienie, zużywane dla wprowadzenia w ruch cieczy, która podczas każdego skoku tłoka musi w martwych punktach dojść do bezwładu.

Wzór dla oporu przyspieszenia.

Aby wyprowadzić wzór, obrazujący ten opór, musimy wyjść z założenia, że tłok sikawki (lub pompy), wywołujący przyspieszenie masy cieczy, sam powinien mieć przyspieszenie. Jeżeli tłok pompy jest poruszany korbą i korbą o promieniu (r) i prędkość czopu korbowego jest (v), to największe przyspieszenie tłoka (p) wyraża się wzorem:

$$p = \frac{v^2}{r}$$

Uwaga. Tu zmuszeni jesteśmy przyjąć niektóre dane a priori (z góry), albowiem wyprowadzanie ich zajęłoby dużo czasu, a przy tym przy niektórych wzorach trzeba byłoby posilkować się wyższą matematyką.

Jeżeli oznaczymy przez (F) powierzchnię przekroju cylindra (tłoka) pompy, a przez (F_s) powierzchnię przekroju węża ssawnego, to wzór oporu przyspieszenia w wężu ssawnym słupa cieczy, powracającej periodycznie co skok do bezwładu, będzie

$$p_s = \frac{v^2 F}{r F_s}$$

Aby podczas pompowania słup cieczy w wężu ssawnym „nie urwał się”, przyspieszenie jej, wywołane przez przyspieszenie tłoka, musi być równe lub mniejsze od przyspieszenia, wywołanego ciśnieniem powietrza (atmosfery), czyli

$$p_s \leq p_p$$

gdzie p_s jest przyspieszenie wywołane ciśnieniem tłoka,
 p_p " " " " " powietrza.

Tu również zmuszony jestem do zwrócenia uwagi, że niemożliwe jest w popularny sposób wytłumaczyć wzór oporu przyspieszenia i dlatego musimy wzór ten przyjąć z góry.

Oznaczamy przez (l_s) długość w metrach słupa wody, powracającego każdorazowo do bezruchu, i przez (g) przyspie-

szenia ciężkości, wywołane przyciąganiem ziemi ($g = 9,81$); otrzymamy ostateczny wzór:

$$p_s = \frac{v^2}{r} \cdot \frac{F_s}{F} \cdot \frac{l_s}{g}$$

Wielkość (r) w sikawce ręcznej zamiast promienia korby będzie stanowiła długość ramienia dźwigni od łożyska (punkt oparcia) do punktu osadzenia na niej tłoczyska ($r = 0,26—0,27$).

Przykład. Spróbujmy na przykładzie rozwiązać nasze zagadnienie. Sikawka ręczna 1-cylindrowa z podwójnie działającym tłokiem o średnicy $D = 125$ mm i skoku $s = 200$ m działa za pomocą ruchu dźwigni, który przy pełnych skokach wynosi 50 wahań na minutę. Obliczyć opór przyśpieszenia.

Rozwiązanie. W naszym podstawowym wzorze

$$p_s = \frac{v^2}{r} \cdot \frac{F_s}{F} \cdot \frac{l_s}{g}$$

mamy niewiadomą (p_s). Inne dane są określone (r , g) lub też możemy je obliczyć (v , F , F_s , l_s).

Przede wszystkim obliczamy szybkość (v).

Przy 50 pełnych, podwójnych skokach ($n = 50$) sikawka podaje teoretycznie na minutę ilość wody (Q):

$$Q = 2n \frac{\pi D^2}{4} \cdot s, \text{ gdzie } D = 1,25 \text{ dcm, a skok } s = 2,0 \text{ dcm}^*$$

Zatem

$$Q = 2 \cdot 50 \frac{\pi (1,25)^2}{4} \cdot 2; \quad Q = 245 \text{ litr/min}$$

a na sekundę

$$Q' = \frac{245}{60}; \quad Q' = 4,1 \text{ litr/sek.}$$

Szybkość wody, przepływającej w węży ssawnym (v), da się łatwo określić, ponieważ znamy powierzchnię przekroju węża (F_s) i ilość wody przepływającej przezeń na sekundę (Q')

$$Q' = F_s v, \text{ gdzie } Q' = 4,1 \text{ litr. i } F_s = \frac{\pi (0,5)^2}{4};$$

stąd

$$v = \frac{4,1}{\pi (0,5)^2}; \quad v = \sim 21 \text{ dcm czyli } v = \sim 2,1 \text{ m.}$$

1) (D) i (s) przyjmujemy do naszego wzoru w decymetrach, aby ułatwić obliczenie wydajności sikawki w litrach.

Określamy teraz powierzchnię przekroju cylindra (F) i powierzchnię przekroju węża ssawnego (F_s) w metrach²

$$F = \frac{\pi D^2}{4}; \quad F = \frac{\pi (0,125)^2}{4}; \quad F = 0,0123 \text{ m}^2$$

$$F_s = \frac{\pi D_s^2}{4}; \quad F_s = \frac{\pi (0,05)^2}{4}; \quad F_s = 0,00196 \text{ m}^2$$

Dla określenia długości słupa wody węża ssawnego (l_s), powracającego co skok do bezruchu, musimy wziąć pod uwagę pojemność cylindra sikawki, czyli ilość wody ssanej podczas jednego skoku.

$$Q'' = \frac{Q}{2n}; \quad Q'' = \frac{245}{2 \cdot 50}; \quad Q'' = 2,45 \text{ litr. } l_s = \frac{Q''}{F_s}; \quad l_s = \frac{0,00245}{0,00196}; \quad l_s = 1,2 \text{ m.}$$

Podstawiając wszystkie otrzymane powyżej dane do naszego wzoru:

$$p_s = \frac{v^2}{r} \cdot \frac{F}{F_s} \cdot \frac{l_s}{g}$$

otrzymamy

$$p_s = \frac{(2,1)^2}{0,26} \cdot \frac{0,0123}{0,00196} \cdot \frac{1,2}{9,81}; \quad p_s = 12,7 \text{ m.}$$

czyli przeszło 1 atmosfera.

Istotnie, w sikawkach ręcznych tłokowych dość znaczna część energii musi być zużywana na ustawiczne wprawianie w ruch wody, powracającej co skok do bezruchu.

4. Opór tarcia.

Ciecz, przepływającą przez jakikolwiek przewód, podlega pewnego rodzaju hamowaniu wskutek t. zw. *oporu tarcia*.

Istota oporu.

Cząstki cieczy, płynące tuż przy ściankach przewodu, zawadzają o wystające na powierzchni ścianki chropowatości (supelki i włoski w wężu parcianym, grudki rdzy w rurze żelaznej i t. p.), zwalniając swój bieg i wpływając również hamująco na sąsiednie cząstki cieczy, znajdujące się bliżej osi przewodu; te wywołują znów tarcie z cząstkami będącymi jeszcze bliżej osi i t. d. Wskutek całego szeregu tych różnych tarć cząstek wody o ścianki przewodu i między sobą, powstaje opór, dla przewyciężenia którego potrzebne jest pewne ciśnienie.

Wzór oporu tarcia.

Wzór oporu tarcia można wyprowadzić w następujący sposób:

Podstawową część wzoru stanowi klasyczny wzór

$$h = \frac{v^2}{2g}$$

Wynika z niego, że o ile większa będzie prędkość przepływającej przez dany przewód cieczy, o tyle opór zwiększy się w drugiej potęgde.

Opór tarcia jest również zależny od długości przewodu (l) i im dłuższy jest dany przewód, tym proporcjonalnie jest większe tarcie.

W stosunku do średnicy przewodu, opór kilkakrotnie (w czwartej potęgde) zmienia się w stosunku odwrotnym: im mniejsza jest średnica przewodu, tym opór w 4-ej potęgde się zwiększa i odwrotnie, o czym będziemy mówili dalej w specjalnym rozdziale.

Współczynnik tarcia.

Pozostaje jeszcze jedna wielkość, a mianowicie *współczynnik tarcia* (λ).

Jest to wielkość wyprowadzona empirycznie, t. j. za pomocą całego szeregu skrupulatnych badań i pomiarów, które były prowadzone przez trzech uczonych Weisbacha, Darcy'ego i Dupuit'a.

Wzór Weisbacha.

Weisbach w swoim wzorze używa prędkości cieczy, przy czym podaje ją w pierwiastku drugiej potęgi.

Wzór Weisbacha jest następujący:

$$\lambda = 0,02 + \frac{0,004}{\sqrt{v}}$$

Wzór Darcy'ego.

Darcy natomiast wprowadza jeszcze współczynnik „ σ ” zależny od stopnia chropowatości ścian przewodu oraz średnicę przewodu „ d ”.

Wzór Darcy'ego jest następujący:

$$\lambda = \left(0,01989 + \frac{0,0005078}{d} \right) \sigma$$

Przy czym przyjmuje się:

$\sigma = 1$ dla przewodów gładkich,

$\sigma = 1,5$ dla mniej chropowatych,

$\sigma = 2$ dla bardzo chropowatych.

Na zasadzie szeregu porównawczych doświadczeń z węzami parcianymi i węzami gumowymi, o czym będzie mowa dalej, należy przyjąć dla węży parcianych $\sigma = 2,2$, a dla gumowych $\sigma = 1,1-1,2$.

Mając wszystkie powyżej wymienione czynniki, od których zależy jest opór tarcia w przewodzie, możemy sami wyprowadzić wzór:

Nazwijmy przez „ h_t ” stratę ciśnienia w metrach, wywołaną przez opór tarcia.

d oznacza średnicę przewodu w metrach, l — długość przewodu w metrach, v — szybkość cieczy w m/sek., g — przyspieszenie przyciągania ziemi = 9,81 m, λ — współczynnik tarcia.

Otrzymamy wzór oporu tarcia

$$h_t = \lambda \cdot \frac{l}{d} \cdot \frac{v^2}{2g}$$

Rozwiążmy parę przykładów:

Przykład 1. Jaki opór tarcia będzie w wężu parcianym 150 m dł., 52 mm \varnothing , przy przepływie w nim 200 litrów wody na minutę?

Rozwiązanie. Musimy przede wszystkim określić szybkość przepływającej wody (v) z następującego wzoru:

$$\frac{\pi d^2}{4} v = \frac{Q}{60}; \text{ gdzie } Q = 0,2 \text{ m}^3; d = 0,052 \text{ m.}$$

Wtedy otrzymamy równanie:

$$v = \frac{Q}{60 \frac{\pi d^2}{4}}; v = \frac{0,2}{60 \frac{\pi (0,052)^2}{4}}$$

Teraz należy określić wielkość współczynnika λ , przyjmując $\sigma = 2,2$ dla węży parcianych.

$$\lambda = \left(0,01989 + \frac{0,0005078}{0,052} \right) \cdot 2,2; \lambda = 0,06512$$

Podstawiając otrzymane wielkości do naszego wzoru, będziemy mieli:

$$h_t = 0,06512 \cdot \frac{150}{0,052} \cdot \frac{(1,7)^2}{2 \cdot 9,81}; h_t = \sim 26 \text{ m czyli } h_t = \sim 2,6 \text{ atm.}$$

Przykład 2. Określić opór tarcia w linii węzowej 400 m długiej 52 mm \varnothing , złożonej z odcinków węży gumowanych przy przepływie 350 litrów wody na minutę.

Rozwiązanie:

$$v = \frac{Q}{60 \frac{\pi d^2}{4}}; v = \frac{350}{60 \frac{\pi (0.052)^2}{4}}$$

Współczynnik oporu tarcia według wzoru Darcy'ego

$$\lambda = \left(0,01989 + \frac{0,0005078}{0,052} \right) 1,1, \text{ gdzie } \varpi = 1,1 \quad \lambda = 0,03256.$$

Zatem opór tarcia w naszej linii wyniesie:

$$h_t = 0,03256 \cdot \frac{400}{0,052} \cdot \frac{(2,8)^2}{2 \cdot 9,81}$$

$$h_t = \sim 9,9 \text{ m t. j. } \sim 0,99 \text{ at. } \sim 1 \text{ atm.}$$

Zależność oporu tarcia od średnicy węża.

Czynniki oporu tarcia.

Jak widzieliśmy uprzednio, strata wywołana oporem tarcia (w metrach) zależy w prostym stosunku od następujących czynników:

1) od współczynnika tarcia (λ),

2) od długości węża (l)

i w odwrotnym stosunku od przyśpieszenia ciężkości (g), oraz od średnicy węża (d). Bardzo znaczna natomiast jest zależność oporu od szybkości przepływającej w wężu wody, bo w drugiej potęgze (v^2).

Ponieważ wielkość λ , l i g w naszym założeniu nie grają pierwszorzędnej roli, pozostają przeto dwa czynniki, t. j. średnica węża (d) i szybkość wody (v), którymi w naszym rozumowaniu wypada operować.

Jaka jest ich wzajemna zależność?

Otóż w pierwszej linii musimy pamiętać o zasadniczym wzorze, określającym jakąś stałą ilość wody, która przepływa przez dany wąż.

$Q = F v$; gdzie Q — ilość wody, F — płaszczyzna przekroju węża i v — szybkość.

Płasczyzna przekroju wyraża się, jak wiadomo, wzorem:

$$F = \frac{\pi d^2}{4}.$$

Wstawiając tę wielkość do naszego poprzedniego wzoru, otrzymamy:

$$Q = \frac{\pi d^2}{4} \cdot v.$$

Przyjmując ilość wody jako wielkość ustaloną możemy ustosunkować sobie wielkości v i d , mianowicie:

$$v = \frac{4Q}{\pi d^2} \quad \text{i} \quad d = \sqrt{\frac{4Q}{v\pi}}.$$

Widzimy z tych wzorów, że szybkość zależna jest — i to w znacznym stopniu — od średnicy; przy czym zależność ta jest w odwrotnym stosunku i do tego w drugiej potędze, to znaczy: im jest średnica danej rury (węza) większa, tym szybkość przepływającej wody jest mniejsza w drugiej potędze.

Rozpatrzmy teraz wzór oporu tarcia, od którego zaczęliśmy, a mianowicie:

$$h_t = \lambda \frac{l}{d} \frac{v^2}{2g}.$$

Widzimy tu obie wielkości d i v , przy czym d wyrażone jest w metrach, czyli np. wąż 2-calowy ma we wzorze średnicę 0,052 m. Dzielać więc w danym wzorze przez d , mnożymy przez 1000 i dzielimy przez 52. Widzimy więc, jak znaczny wpływ wywiera tu średnica węza.

Zależność oporu od średnicy w 4-ej potędze.

Jeszcze większy wpływ i to w czwartej potędze wywiera średnica na opór tarcia, przez uzależnienie od niej szybkości wody; a to wskutek tego, że mamy w naszym wzorze (oporu) w liczniku szybkość w drugiej potędze (v^2); oprócz tego szybkość ta zależna jest od średnicy w stosunku odwrotnym też w drugiej potędze, jak to widzieliśmy we wzorze $v = \frac{4Q}{\pi d^2}$. Stąd

wniosek, że przy dalszym omawianiu sprawy długich linii tłocznych i ich rozgałęzień należy bardzo się zastanowić przy osta-

tecznym ustalaniu zasadniczej kwestii, dotyczącej się tak wyboru systemu magistrali i rozgałęzień, jak również ich średnic. O tym będziemy mówili szczegółowo w rozdziale p. t. „Linie węzowe tłoczne i ich rozgałęzienia”.

Obecnie przechodzimy do omówienia oporu innego rodzaju.

5. Opór przy zmianie kierunku.

Istota oporu.

Podczas przepływu przez przewód ciecz na zasadzie prawa bezwładności (patrz str. 9) płynie po linii prostej. Łuk na przewodzie lub inna krzywizna zmusza ciecz do zmiany kierunku i wtedy powstaje opór. Częstki cieczy, trafiając na krzywiznę, podlegają zahamowaniu. Przy łuku o małym promieniu powstają uderzenia, wiry, które hamująco wpływają na bieg cieczy i zmniejszają jego szybkość.

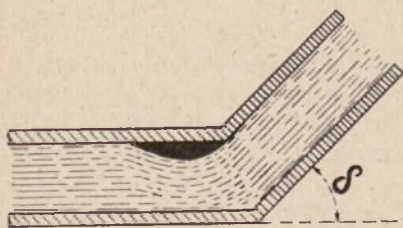
Dla przewyciężenia tego oporu musi być zwiększone ciśnienie.

Zależność oporu od kąta i łuku.

Opór ten zależy od wielkości kąta, pod którym kierunek się zmienia, jak również i od promienia łuku, pod którym zachodzi zmiana kierunku: im kąt jest większy a promień łuku mniejszy, tym opór jest większy i odwrotnie.

Jest zrozumiałe, że opór jest zależny również od szybkości cieczy i to w drugiej potęgze, gdyż i tu podstawą jest nasz klasyczny wzór

$$h = \frac{v^2}{2g}$$



Rys. 25.

Wzór oporu przy łagodnym łuku.

Wzór oporu przy zmianie kierunku będzie następujący:

$$h_k = \zeta_k \frac{v^2}{2g}$$

gdzie ζ_k jest współczynnikiem oporu, zależnym od kąta, co się wyraża w następującym zestawieniu: (rys. 25).

I TABLICA.

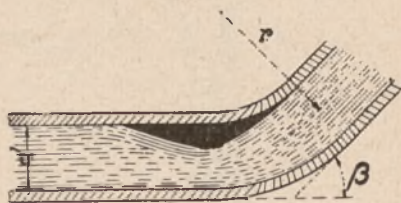
Współczynnik oporu przy zmianie kierunku pod kątem.

Dla kąta $\delta =$	20°	40°	60°	80°	90°	100°	120°	140°
Współczynnik $\zeta_k =$	0,046	0,139	0,364	0,740	0,984	1,260	1,861	2,431

Wzór oporu wyżej wskazany może być stosowany w tych wypadkach, kiedy łuk zgięcia jest stosunkowo łagodny, a promień jego większy.

Wzór oporu przy małym łuku.

Przy bardziej gwałtownej zmianie kierunku ułożenia linii węzowej, a co za tym idzie, mniejszym promieniu łuku zagięcia, musi być stosowany wzór inny.



Rys. 26.

Jeśli $r \leq 2,5 d$ (rys 26), to wzór będzie następujący:

$$h_k = \zeta'_k \frac{\beta^0}{90^0} \frac{v^2}{2g}, \text{ gdzie } \zeta'_k = 0,131 + 0,163 \left(\frac{d}{r} \right)$$

Współczynnik oporu zmiany kierunku przy $r \leq 2,5 d$ ζ'_k zależy od stosunku średnicy przewodu do promienia łuku zagięcia według następującego zestawienia:

II TABLICA.

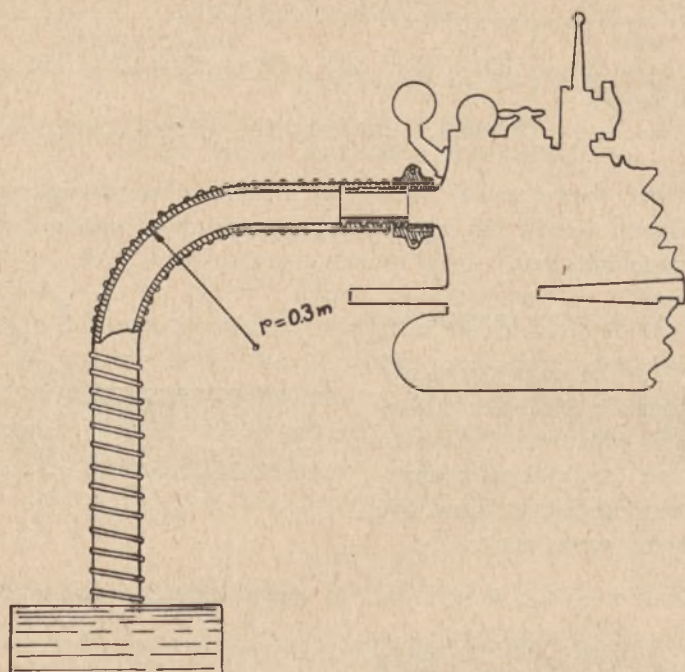
Współczynnik oporu przy zmianie kierunku pod łukiem.

Dla $d : r$	0,4	0,6	0,8	1,0	1,2	1,4	1,6	1,8	2,0
ζ'_k	0,138	0,158	0,206	0,294	0,440	0,661	0,977	1,408	1,979

Obliczmy te opory, powstające przy zmianie kierunku, na przykładach.

Przykład 1. Wąż ssawny 65 mm \varnothing od motopompy P_2 jest zanurzony pionowo w podziemnym zbiorniku (rys. 27) i podaje 500 ltr/min. Górna część węża jest wygięta łukiem o promieniu 0,3 m pod kątem prostym do poziomemu. Obliczyć opór na tym łuku.

Rozwiązanie. Ponieważ $r > 2,5 d$ czyli $0,3 \text{ m} > 0,1625 \text{ m}$. więc w danym wypadku posłużymy się wzorem pierwszym.



Rys. 27.

$$h_k = \zeta_k \frac{v^2}{2g}$$

$$\text{Szybkość } v = \frac{Q}{60 \cdot \frac{\pi d^2}{4}}; v = \frac{0,5}{60 \cdot \frac{\pi (0,065)^2}{4}}; v = 2,5 \text{ m}$$

Z tablicy widzimy, że przy $\delta = 90^\circ$, współczynnik $v = 2,5 \text{ m}$ $\zeta_k = 0,984$.

$$\text{Stąd } h_k = 0,984 \frac{(2,5)^2}{2 \cdot 9,81}; h_k = \sim 0,31 \text{ m.}$$

Przykład 2. Linia węzowa tłoczna od sikawki silnikowej prowadzi na dach po drabinie Szczerbowskiego, opartej pod kątem 80° , przy czym łuk wygięcia linii ma promień 200 mm; dalej linia ta jest poprowadzona przez dach o pochyleniu 30° i na jego krawędzi przechodzi przez siodełko rolkowe o promieniu 180 mm. Sikawka podaje 450 ltr/min. Obliczyć opory w linii przy obu łukach (rys. 28).

Rozwiązanie. Mamy tu dwie zmiany kierunku: jedną na dole o promieniu łuku $r_1 = 200$ mm, czyli $r_1 > 2,5 d$ a drugą na wierzchołku drabiny $r_2 = 100$ mm, czyli $r_2 < 2,5 d$.

Na dole kąt zmiany wynosi $\delta_1 = 80^\circ$

Na górze kąt zmiany wynosi $\delta_2 = 90^\circ$

— 10° — 30° ; $\delta_2 = 50^\circ$

Szybkość wody przepływającej

$$v = \frac{450}{60 \frac{\pi (0,052)^2}{4}}; v = 3,5 \text{ m.}$$

W pierwszym wypadku używamy wzoru pierwszego

$$h_{k_1} = \zeta_{k_1} \frac{v^2}{2g};$$

Współczynnik oporu ζ_{k_1} przy $\delta_1 = 80^\circ$ wyniesie $\zeta_{k_1} = 0,740$.

$$\text{Zatem } h_{k_1} = 0,74 \frac{(3,5)^2}{2 \cdot 9,81};$$

$$h_{k_1} = \sim 0,46 \text{ m.}$$

Zmiana kierunku przy przejściu linii z drabiny na dach odbywa się po siodółku o promieniu łuku $r_2 = 120$ mm.

Zatem do wyliczenia oporu służy tu wzór

$$h_{k_2} = \zeta'_{k_2} \frac{v^2}{2g}, \text{ gdzie } \zeta^0 = 50^\circ;$$

$$\zeta'_{k_2} = 0,131 + 0,163 \left(\frac{d}{r} \right)^{3,5}$$

przy czym $d = 52$ mm $r = 120$ mm.

$$\text{Stąd } \zeta'_{k_2} = 0,131 + 0,163 \left(\frac{52}{120} \right)^{3,5}; \zeta'_{k_2} = \sim 0,445$$

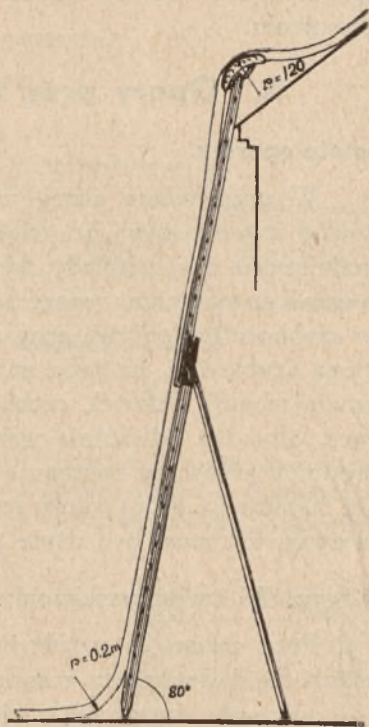
Podstawimy nasze dane do wzoru

$$h_{k_2} = 0,445 \cdot \frac{50}{90} \cdot \frac{(3,5)^2}{2 \cdot 9,81}; h_{k_2} = \sim 0,13 \text{ m.}$$

Zatem opory przy obu zmianach kierunku wynoszą

$$h_k = h_{k_1} + h_{k_2}; h_k = 0,46 \text{ m} + 0,13 \text{ m}; h_k = 0,59 \text{ m.}$$

Widzimy więc, że według podanych wyżej dwóch wzorów z łatwością możemy obliczyć straty w ciśnieniu, na jakie zazwy-



Rys. 28.

czaj natrafiamy podczas prowadzenia linii węzowej przy wygięciach i łukach. Z powyższych wzorów i paru przytoczonych przykładów wynika, że w miarę możliwości podczas prowadzenia linii tłocznych należy unikać zmian kierunku i łuków o małym promieniu.

6. Opory przy zmianach przekrojów.

Istota oporów.

W przewodach okrągłych przy zmianach przekrojów, zarówno z mniejszych na większe, jak również z większych na mniejsze, a więc i wtedy, kiedy przewód raptownie się zwęża, a zaraz po tym znów rozszerza — powstają opory wskutek zmian w szybkości przepływającej cieczy, która, płynąc z pewną określoną szybkością, natrafia nagle na ciecz o szybkości przepływu zmniejszonej, wskutek czego powstaje jakby uderzenie tamujące, albo też odwrotnie wskutek raptownego zmniejszania się średnicy przewodu następuje dławienie cieczy, wiry i t. p. objawy hamujące, które sumarycznie formują opory; dla przewyższenia ich musi być użyte pewne ciśnienie.

4 wypadki zmian przekrojów.

Przy zmianach przekrojów w przewodach okrągłych różnicę się dadzą cztery zasadnicze wypadki.

- a) nagłe rozszerzenie się przewodu,
- b) nagłe zwężenie się przewodu,
- c) nagłe zwężenie się i zaraz potem nagłe rozszerzenie się przewodu,
- d) przepływ przez otwór w błonie.

Rozpatrzmy każdy z poszczególnych tych wypadków.

- a) **Straty spowodowane przez nagłe rozszerzenie się przewodu.**

Wzór.

Cały szereg doświadczeń przeprowadzonych przez Weisbacha i Fliegnera ustalił następujący wzór:

$$h_p = \frac{(v_1 - v_2)^2}{2g}, \text{ gdzie}$$

v_1 — szybkość przepływającej wody w części węższej.
 v_2 — szybkość przepływającej wody w części szerszej.
 h_p — strata ciśnienia wywołana przez nagłe rozszerzenie się przewodu (rys. 29).

Biorąc pod uwagę zasadnicze równanie:

$$F_1 v_1 = F_2 v_2$$

można pierwszy wzór zmodyfikować

$$h_p = \frac{v_2^2}{2g} \left[\frac{F_2}{F_1} - 1 \right]^2$$

lub też

$$h_{p_1} = \frac{v_1^2}{2g} \left[\frac{F_2}{F_1} \left(\frac{F_2}{F_1} - 1 \right) \right]^2$$



Rys. 29.

Przykład. Jako przykład oporu wywołanego przez nagłe rozszerzenie się przewodu bierzemy sikawkę ręczną o wydajności 200 l/m, w tym miejscu, w którym z nasady ssawnej woda wpływa do komory ssawnej. Obliczamy tu stratę ciśnienia.

Jak widać ze szkicu (rys. 30)
 $d = 52 \text{ mm } \varnothing$, $D = 120 \text{ mm } \varnothing$,
 przy czym komora ssawna stanowi
 połowę walca o średnicy 120 mm.
 Jeśli sikawka podaje 200 litrów
 wody na minutę, to na sekundę
 $\frac{200}{60} = 3,3 \text{ litr/sek.}$

$$F_1 = 0,2123 \text{ dm}^3; v_1 = \frac{3,3}{0,2123}$$

czyli $v_1 = \approx 1,5 \text{ m.}$

Teraz należy określić stosunek

$$\frac{F_2}{F_1}$$

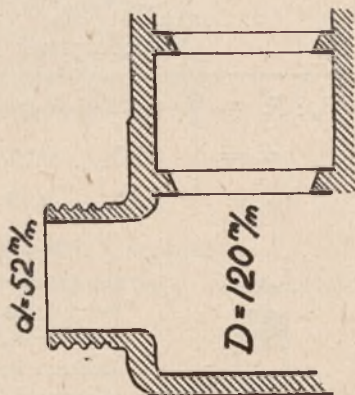
$$0,5 \frac{\pi D^2}{4} = 0,0056 \text{ m}^2 \quad \frac{\pi d^2}{4} = 0,002123 \text{ m}^2$$

stąd

$$\frac{F_2}{F_1} = \approx 26; v_2 = \frac{F_1}{F_2} v_1; v_2 = \approx 0,6 \text{ m.}$$

Posiłkując się wzorem

$$h_{p_1} = \frac{(v_1 - v_2)^2}{2g}$$



Rys. 30.

określamy

$$h_{p1} = \frac{(1.5 - 0.6)^2}{2.9,81} \quad h_{p1} = \sim 0.05 \text{ m.}$$

b) Straty wskutek nagłego zwężenia się przewodu.

Stratę ciśnienia przy nagłym zwężeniu (rys. 31) przewodu określić możemy ze wzoru:

$$h_{p2} = \zeta_{p2} \frac{v_2^2}{2g}; \quad \text{gdzie } \zeta_{p2} = \left(\frac{1}{\alpha} - 1 \right)^2,$$



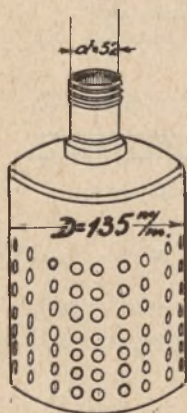
Rys. 31.

gdzie $\alpha \zeta_{p2}$ jest to współczynnik dławienia, który otrzymuje się z następującej tablicy:

III TABLICA.

Współczynnik oporu przez zwężenie.

$F_2 : F_1 =$	0,1	0,2	0,4	0,6	0,8	1,0
$\alpha =$	0,60	0,61	0,63	0,67	0,73	1,0
$\zeta_{p2} =$	0,50	0,42	0,33	0,25	0,15	0



Rys. 32.

Przykład. Jako przykład przytoczyć można raptowne zmniejszenie się przekroju w smoku, w którym dno i dolna część płaszcza mają otworki, górna zaś jest bez otworków (rys. 32). Średnica smoka $D = 135 \text{ mm}$, średnica wewnętrzna obsady węża ssawnego sikawki silnikowej $d = 60 \text{ mm}$. Sikawka podaje 600 l/m . Znaleźć opór zwężenia.

Rozwiązanie. — Przede wszystkim dla odnalezienia w tablicy współczynnika dławienia α oraz ζ_{p2} należy określić stosunek $F_2 : F_1$.

$$F_1 = \frac{\pi D^2}{4}; \quad F_2 = \frac{\pi d^2}{4};$$

$$F_1 = 0,014314 \text{ m}^2; \quad F_2 = 0,002827 \text{ m}^2.$$

$$F_2 : F_1 = \sim 0.2 \text{ zatem } \zeta_{p2} = 0,42 \text{ (z tablicy 3-ciej)}$$

Szybkość

$$v_2 = \frac{600}{60 \frac{\pi d^2}{4}}; v = \sim 3,5 \text{ m.}$$

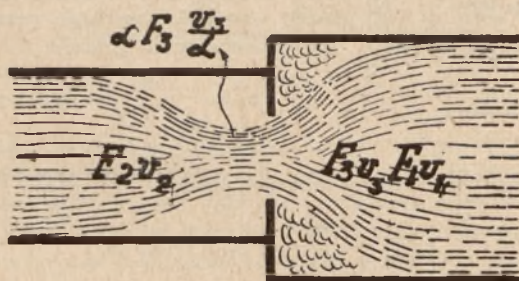
Stąd

$$h_{p2} = 0,42 \cdot \frac{(3,5)^2}{2,981}; h_{p2} = \sim 0,26 \text{ m.}$$

c) Straty wskutek nagłego zwężenia przewodu i bezpośredniego nagłego rozszerzenia się.

Wzór odpowiedni w tym wypadku (rys. 33) będzie:

$$h_{p3} = \frac{\left(\frac{v_3}{\alpha} - v_2\right)^2}{2g}; h_{p3} = \zeta_{p3} \frac{v_3^2}{2g}$$



Rys. 33.

Jeżeli $F_3 \cong 0,1 F_1$, to dla wszystkich stosunków $F_3 : F_2$ współczynnik dławienia α będzie $= 0,62$. Wtedy współczynnik oporu ζ_{p3} określa się z poniższej tablicy:

IV TABLICA.

Współczynnik oporu przez nagłe zwężenie a potem nagłe rozszerzenie.

dla $F_3 : F_1 = 0,1$	0,2	0,3	0,4	0,5	0,6	0,7	0,8	0,9	1,0
będzie $\zeta_{p3} = 2,3$	2,0	1,7	1,4	1,2	1,0	0,8	0,7	0,6	0,5

W wypadkach kiedy $F_3 \cong F_1$, to dla

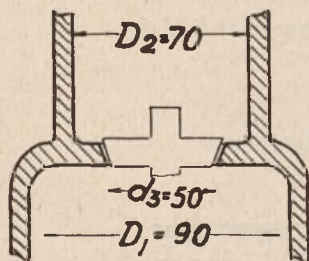
V TABLICA.

Współczynnik oporu z tejże przyczyny.

$F_3 : F_1 =$	0,1	0,2	0,3	0,4	0,5	0,6	0,7	0,8	0,9	1,0
$\alpha =$	0,62	0,63	0,64	0,66	0,68	0,71	0,75	0,31	0,90	1,0

Przykład. W sikawce ręcznej przepływ wody na minutę wynosi 180 litrów. Obliczyć opór w zaworze płaskim grzybkowym (rys. 34).

Rozwiązanie. Obliczamy przede wszystkim stosunek $F_3 : F_1$



Rys. 34.

$$F_3 = \frac{\pi d_3^2}{4}; \quad F_1 = \frac{\pi (50)^2}{4};$$

$$F_1 = \frac{\pi d_2^2}{4}; \quad F_1 = \frac{\pi (90)^2}{4}; \quad F_3 : F_1 = \sim 0,3.$$

Posługując się drugą tablicą przy $F_3 : F_1 = 0,3$; mamy $\alpha = 0,64$. Szybkość przepływu w naszej sikawce przez gniazdo

$$v_3 = \frac{180}{60 \frac{\pi d_3^2}{4}}; \quad v_3 = \sim 1,5 \text{ m.}$$

Szybkość przepływu w komorze tłocznej wynosi:

$$v_2 = \frac{180}{60 \frac{\pi d_2^2}{4}}; \quad v_2 = \sim 0,5 \text{ m.}$$

Podstawiamy do naszego wzoru

$$h_{p3} = \frac{\left(\frac{v_3}{\alpha} - v_2\right)^2}{2g}$$

otrzymujemy wysokość ciśnienia, niezbędnego dla przewyciężenia naszego oporu.

$$h_{p3} = \frac{\left(\frac{1,5}{0,64} - 0,5\right)^2}{2 \cdot 9,81}; \quad h_{p3} = \sim 0,17 \text{ m.}$$

d) Straty przy przepływie przez błonę.

Rys. 35 przedstawia ten przepływ $F_3, F_2 = F_1$ i $v_2 = v_1$.

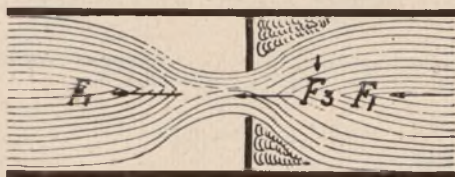
Strata ciśnienia potrzebna do przewyciężenia oporu określa się według wzoru:

$$h_{p4} = \zeta_{p4} \frac{v_1^2}{2g}; \quad \text{przy czym } \zeta_{p4} = \left(\frac{F_1}{\alpha F_3} - 1\right)^2;$$

Przy czym dla różnych stosunków $F_1 : F_3$ otrzymuje się różne wielkości α i ζ_{p4} z poniższej tablicy:

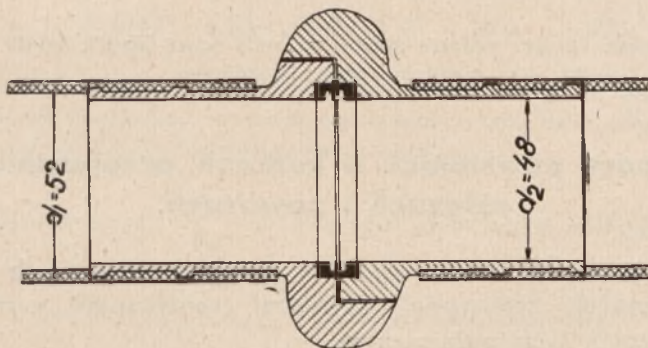
VI TABLICA.
Współczynnik oporu przez błonę.

Dla $F_3 : F_1 =$	0,1	0,2	0,3	0,4	0,5	0,6	0,7	0,8	0,9	1,0
Współczynnik $\alpha =$	0,62	0,63	0,64	0,66	0,68	0,71	0,75	0,81	0,90	1,0
$\zeta_{p4} =$	2,3	2,0	1,6	1,2	1,0	0,65	0,4	0,2	0,05	0



Rys. 35.

Przykład. Jako przykład możemy przytoczyć łącznik w węźle tłocznym. Chociaż opory przy przepływie wody przez łącznik należy właściwie traktować jako dwa różne opory: jeden przy zwężeniu przewodu podczas przepływu przez tuleję (obsadę) łącznika, a drugi przy rozszerzeniu się przewodu, ale można przyjąć jako jeden opór przy przepływie przez błonę.



Rys. 36.

Jeżeli sikawka silnikowa podaje 450 ltr./min. to jaki opór będzie w łączniku węzła tłocznego o średnicy 52 mm?

Możemy więc dać tu dwa rozwiązania: pierwsze traktuje opór jak przepływ przez błonę, a drugie rozwiązanie jako dwa opory: jeden przy zwężeniu, a drugi przy rozszerzaniu się przewodu.

Rozwiązanie. Grubość ścianek tulei łącznika (obsady) przyjmujemy 3 mm (rys. 36). Wtedy znaleźć należy stosunek $\frac{F_1}{F_3}$. Wyniesie on

$$\frac{F_3}{F_1} = \frac{\pi d_3^2}{4}; \frac{F_3}{F_1} = \frac{(46)^2}{(52)^2}; \frac{F_3}{F_1} \approx 0,8$$

Stąd z tablicy mamy

$$\zeta_{p1} \approx 0,2; h_{p1} = \frac{0,2 (3,5)^2}{2 \cdot 9,81}$$

Zatem $h_{p1} = 0,12$ m.

II rozwiązanie. Wskutek zwężenia przewodu mamy opór, który wyrazi się wzorem

$$h_{p2} = \zeta_{p2} \frac{v_2^2}{2g} \cdot v_2 = 4,4 \text{ m.}$$

Przy stosunku $F_2 : F_1 = \approx 0,8$ ζ_{p2} będzie 0,15;

Stąd $h_{p2} = 0,15 \frac{(4,4)^2}{2g}$; $h_{p2} = 0,147$ m.

Przy przejściu z łącznika do węża następuje rozszerzenie się. Wtedy wzór nasz będzie

$$h_{p1} = \frac{(v_1 - v_2)^2}{2g}; h_{p1} = \frac{(4,4 - 3,5)^2}{2 \cdot 9,81}; h_{p1} \approx 0,04.$$

Zatem ciśnienie potrzebne do przewyciężenia obu oporów wyniesie

$$h_p = h_{p2} + h_{p1}; h_p = 0,147 + 0,04; h_p = 0,181 \text{ m.}$$

Stąd wniosek, że opór podczas przepływu wody przez łącznik należy traktować jako 2 opory: przy zwężeniu i przy rozszerzaniu.

7. Opory powstające w kurkach, przepustnicach, szluzach i zaworach.

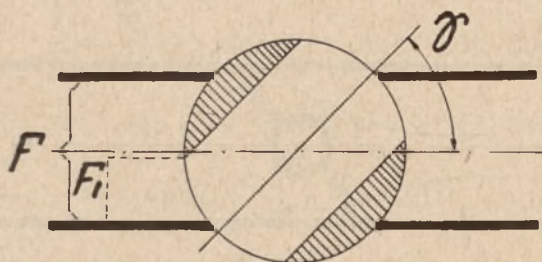
Rozpatrzmy kolejno opory w głównych wypadkach wyżej wymienionych zawierudeł najczęściej spotykanych w naszym praktycznym życiu pożarniczym.

a) Kurek posiadający otwór okrągły o przekroju przewodu.

Stratę ciśnienia określa się według następującego wzoru:

$$h_k = \zeta_k \frac{v^2}{2g}$$

Jeżeli γ oznacza kąt, pod którym otwarty jest kurek (rys. 37), to im większy jest kąt otworu, tym mniejszy jest stosunek $F_1 : F$ t. j. stosunek płaszczyzny przekroju otwarcia kurka do płaszczyzny przewodu i tym większy jest współczynnik oporu ζ_k , jak to widać na tablicy VII-ej.



Rys. 37.

VII TABLICA.

Współczynnik oporu w kurku.

Kąt γ	10°	20°	30°	40°	50°	60°	65°
$F_1 : F$	0,850	0,692	0,535	0,385	0,250	0,137	0,091
ζ_k	0,29	1,56	5,47	17,3	52,6	206	486

Przykład. Jako przykład przyjmujemy szybkość wody w przewodzie $v = 5$ m/sek. i zakładamy, że kurek jest otwarty o 40°. Jakie ciśnienie potrzebne jest dla przewyciężenia oporu w kurku?

Nasz wzór $h_k = \zeta_k \frac{v^2}{2g}$ po wstawieniu odpowiednich liczb będzie następujący:

$$h_k = 17,3 \frac{(5)^2}{2 \cdot 9,81}; h_k = \sim 22 \text{ m., przeszło 2 atmosfery.}$$

b) Przepustnica zamykająca się przy 90°.

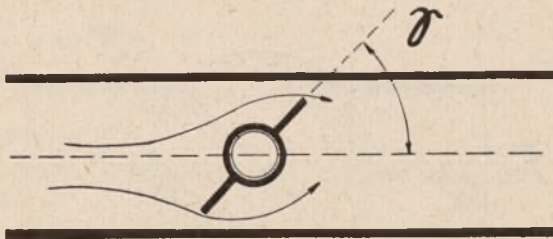
Stratę ciśnienia oblicza się według wzoru $h_p = \zeta_p \frac{v^2}{2g}$,

gdzie współczynnik ζ_p zależny od kąta nastawienia przepustnic (rys. 38) określa się z tablicy.

VIII TABLICA.

Współczynnik oporu przy przepustnicy.

γ	10°	20°	30°	40°	50°	60°	70°
ζ_p	0,52	1,54	3,91	10,8	32,5	118	751



Rys. 38.

Przykład. Woda przepływa przez przewód z szybkością $v = 10$ m/sek; przepustnica jest nastawiona pod kątem 20° . Jaka jest strata ciśnienia?

Rozwiązanie. Przy $\gamma = 20^\circ$
 $\zeta_p = 1,54$.

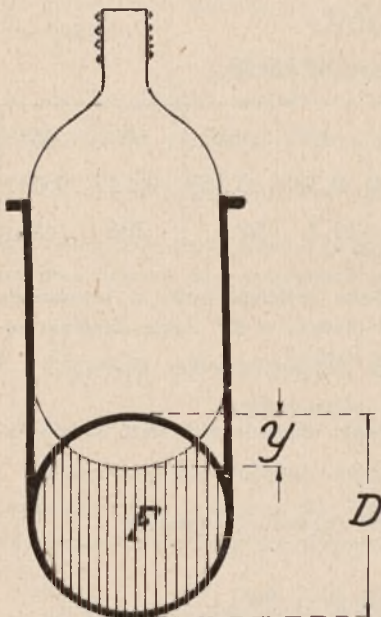
Wstawiając do naszego wzoru te liczby, otrzymamy

$$h_p = 1,54 \cdot \frac{(10)^2}{2 \cdot 9,81}; h_p = \sim 9 \text{ m.}$$

c) Zasuwa (szluz) na przewodzie okrągłym.

Strata ciśnienia, potrzebna dla przewyciężenia oporu w zasuwie, i tu również wyrazi się wzorem:

$$h_s = \zeta_s \frac{v^2}{2g}$$



Rys. 39.

Współczynnik oporu zależy od stopnia odsunięcia szluzy, t. j. od wielkości y (rys. 39) i da się określić z poniższej tablicy:

IX TABLICA.

Współczynnik oporu w szluzie.

Dla $y =$	$1/8$	$2/8$	$3/8$	$4/8$	$5/8$	$6/8$	$7/8$
Stosunek $\frac{F_1}{F_2} =$	0,948	0,856	0,740	0,609	0,466	0,315	0,159
$\zeta_s =$	0,07	0,26	0,81	2,06	5,52	17,0	97,8

Przykład. Jeśli woda przez przewód płynie z szybkością $v = 8$ m i szluzą jest otwarta do połowy, to jaki będzie w niej opór?

Rozwiązanie. Odpowiednio do $\frac{y}{D} = \frac{4}{8}$ w tablicy współczynnik oporu będzie $\zeta_s = 2.06$
Wtedy strata ciśnienia określi się ze wzoru

$$h_s = 2.06 \frac{(8)^2}{2 \cdot 9.81}; h_s = 6.71 \text{ m.}$$

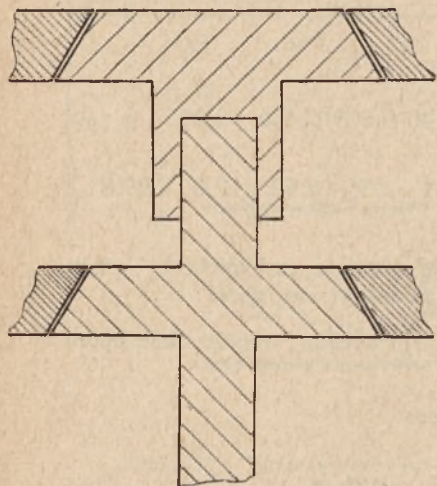
d) Zawory grzybkowe, stożkowe i kuliste (w sikawkach ręcznych).

Sposoby prowadzenia zaworów.

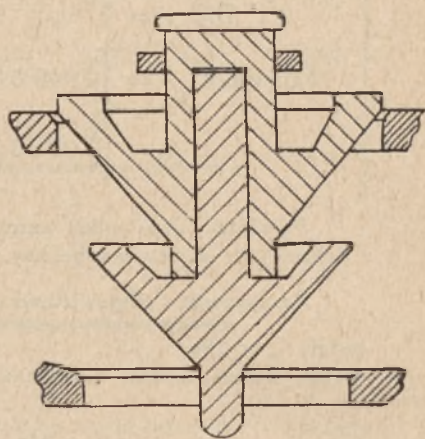
Zawory bywają prowadzone albo za pomocą prowadnicy (sworznia) górnej, jako grzybkowe (rys. 40) i jako stożkowe (rys. 41), albo t. zw. żebrowe, t. j. prowadzone za pomocą trzech żeber (rys. 42), albo też kuliste bez prowadnic (rys. 43).

Wpływ formy na opór.

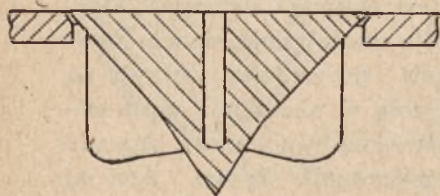
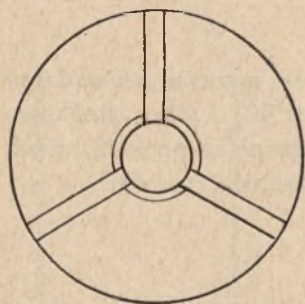
Opór podczas przepływu wody przez gniazdo po podniesieniu zaworu zależy od formy zaworu i od prowadnicy: im więcej płaski jest grzybek, tym opór jest większy; natomiast stożkowa lub kulista forma zaworu sprzyja zmniejszeniu oporu. Również celowe i umiejętne zastosowanie prowadnicy wpływa na zmniejszenie oporu. Najważniejszą rolę w określeniu strat ciśnienia, spowodowanych przy przepływie wody przez gniazdo różnego rodzaju zaworów, gra współczynnik oporu. Jest on w pierwszej linii zależny od stosunku części powierzchni przekroju przepływu wody do całej powierzchni gniazda t. j. od $F_1 : F$.



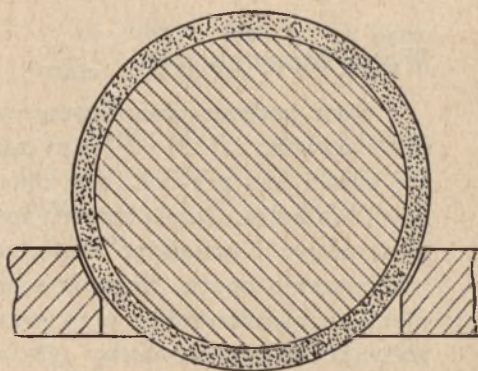
Rys. 40.



Rys. 41.



Rys. 42.



Rys. 43.

Poniższa tablica X wykazuje wielkość współczynników oporu w zależności od stosunku $F_1 : F$ dla różnych systemów zaworów. Tablica ta została ułożona na podstawie całego szeregu doświadczeń znanych hydraulików, Weisbacha, Bacha i Sanga.

X TABLICA.

Współczynnik oporu w zaworach.

Rodzaj zaworu	Średnia wielkość ζ_z przy stosunku $F_1 : F$				
	0,2	0,4	0,6	0,8	1,0
1. Zawór płaski grzybkowy z prowadnicą górną sworzniową	1,2	1,6	2,0	2,5	3,0
2. Zawór płaski grzybkowy z 3 żeberkowymi prowadnicami w gniazdku	2,3	2,8	3,5	4,3	5,2
3. Zawór stożkowy z prowadnicą górną	0,04	0,29	0,52	0,56	0,93
4. Zawór półkolisty z prowadnicą górną	0,01	0,04	0,18	0,48	0,82
5. Zawór kulisty bez prowadnicy	1,9	2,2	2,5	3,6	5,0

Zasadniczym wzorem, służącym do określenia strat ciśnienia, spowodowanych oporem przy przepływie wody przez gniazdo zaworu, jest również wzór h

$$h_z = \zeta_z \frac{v^2}{2g}$$

3 przykłady. 3 sikawki ręczne, jedna o zaworach płaskich, grzybkowych z prowadnicami górnymi, druga z zaworami kulistymi bez prowadnic i trzecia ze stożkowymi z prowadzeniem górnym, pracują, podając po 200 litr./min. Otwory gniazd zaworów są 50 mm \varnothing .

Znaleźć dla wszystkich trzech sikawek straty ciśnienia, przyjmując stosunek $F_1 : F = 0,8$.

Rozwiązanie. Z tablicy powyższej przyjmujemy: dla zaworów grzybkowych $\zeta_{z_1} = 2,5$, dla zaworów kulistych $\zeta_{z_2} = 3,6$, dla zaworów stożkowych $\zeta_{z_3} = 0,56$. Należy znaleźć szybkość wody przepływającej w jednej sekundzie przez gniazdo 50 mm \varnothing .

$$Q' = \frac{200 \text{ litr.}}{60}; \quad Q' = 0,0033 \text{ m}^3.$$

Stąd

$$v = \frac{0,0033}{\pi \frac{(0,05)^2}{4}}; v = \sim 1,7 \text{ m.}$$

Stąd strata ciśnienia dla sikawki 1-ej $h_{z_1} = \frac{2,5 (1,7)^2}{2 \cdot 9,81}; h_{z_1} = 0,37 \text{ m.}$

" " " " 2-ej $h_{z_2} = \frac{3,6 (1,7)^2}{2 \cdot 9,81}; h_{z_2} = 0,54 \text{ m.}$

" " " " 3-ej $h_{z_3} = \frac{0,56 (1,7)^2}{2 \cdot 9,81}; h_{z_3} = 0,034 \text{ m.}$

Widzimy z powyższego, że najmniej strat ciśnienia dają zawory stożkowe z prowadnicami.

* * *

W siedmiu poprzednich działach hydrauliki wymienione zostały wszystkie opory, na jakie trafia woda przepływająca w liniach węzowych, tłocznych i ssawnych, jak również przez komory i zawory.

Obecnie musimy zająć się liniami węzowymi magistralnymi i ich rozgałęzieniami z punktu widzenia ich zastosowania praktycznego w pożarnictwie z uwzględnieniem strat ciśnienia, niezbędnego do przewyciężenia całego szeregu oporów, na jakie natrafia woda w swym biegu w tych liniach.

8. Linie węzowe i ich rozgałęzienia.

Przede wszystkim nasuwa się pytanie: jakie są najpraktyczniejsze przekroje węży tłocznych w naszych warunkach?

Zanim przystąpimy do rozważania powyższego zagadnienia, musimy rozpatrzyć wyekwipowanie w węże tłoczne taborów naszych bliższych i dalszych sąsiadów.

Systemy węży tłocznych w różnych państwach.

W państwach, najbliżej nas położonych, które się wydzieliły z monarchii austro-węgierskiej, gdzie dawno średnica węży tłocznych była znormalizowana ($2'' = 52 \text{ mm}$), te same rozmiary obowiązują dziś. A więc w Czechosłowacji, na Węgrzech, jak również w północnej części Jugosławii węże tłoczne mają średnicę 50—52 mm ($2''$).

W Niemczech jest inaczej. Tam za zasadę przyjęto, że linia węzowa dłuższa, przeprowadzona od silniejszej pompy powinna mieć magistralę o większej średnicy, od której albo prowadzą dwie mniejsze podmagistrale, rozdzielające się na 4—6 małych węży tłocznych wylotowych (do prądownic), albo też magistrala wprost rozdziela się na 3—4 węże wylotowe mniejsze.

Straże zawodowe w Niemczech mają różnorakie wymiary węży tłocznych. Hamburgska straż np. ma następujące węże: t. zw. „A”, dla głównej magistrali, o średnicy 85 mm, „B” — 63 mm dla podmagistrali oraz „C” — 45 mm dla węży wylotowych. Większość jednak niemieckich straży zawodowych posilkuje się tylko dwoma wymiarami: 75 mm \varnothing — dla magistrali i 45 mm \varnothing — dla linii wylotowych.

Te same wymiary, t. j. 75 mm i 45 mm spotykamy dotąd u nas w b. zaborze pruskim, w Poznaniu, Katowicach, Bydgoszczy, Toruniu i t. d.

We Włoszech dla magistrali są stosowane węże 60 mm \varnothing . a od rozgałęzień (trójników) — 45 mm \varnothing .

W Ameryce i w Anglii węże tłoczne są bardzo różnorodne: od 40 mm do 100 mm i więcej średnicy.

Spróbujmy operować powyższymi wielkościami w celu rozwiązania zagadnienia: czy należy mieć węże tłoczne dwójakiej średnicy (dla linii magistrali i wylotowych) czy też jednej i tej samej średnicy dla magistrali i dla rozgałęzień.

Straty w trójnikach.

Przede wszystkim trzeba obliczyć straty, jakie wynikają przy przechodzeniu wody z magistrali do trójników i stamtąd do linii wylotowych przy dwójakich różnych średnicach i przy jednej i tej samej średnicy.

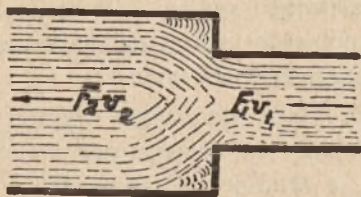
Mamy tu do czynienia z oporami powstającymi przy zmianie przekrojów.

Hydraulika, jak widzieliśmy, daje nam dwa wzory.

Jeden wzór ma zastosowanie do momentów przejścia wody z rury o mniejszym przekroju, do rury o przekroju większym (rys. 44).

$$h_{p1} = \frac{v_2^2}{2g} \left(\frac{F_2}{F_1} - 1 \right)^2.$$

gdzie h_1 — strata ciśnienia, wyrażona w metrach słupa wody; v_1 — prędkość przepływu wody w metrach na sekundę w rurze węższej; v_2 — prędkość przepływu wody w metrach na sekundę w rurze szerszej; F_1 — płaszczyzna przekroju rury węższej; F_2 — płaszczyzna przekroju rury szerszej w m^2 ; g — przyspieszenie ciężkości w metrach na sek.



Rys. 44.

Najważniejszą rolę, jak widzimy, gra tu prędkość przepływającej wody, gdyż wchodzi do wzoru w drugiej potęgze, a następnie stosunek płaszczyzn obu przekrojów.

Drugi wzór znajduje zastosowanie przy przejściu wody z rury większej do mniejszej i jest następujący (rys. 45):



Rys. 45.

$$h_{p2} = \frac{v_2^3}{2g} \left(\frac{1}{\alpha} - 1 \right)^2 \text{ lub } w_2 = \zeta \frac{v_2^2}{2g}.$$

Wprowadzone są tu dwie wielkości: α i ζ ; przy czym α jest to współczynnik dławienia, a ζ — współczynnik oporu. Obie te wielkości są zależne od stosunku płaszczyzn przekrojów obu rur: im większy jest ten stosunek (t. j. różnica), tym współczynnik oporu (ζ) jest też większy, co jest zupełnie zrozumiałe. Współczynnik zaś dławienia (α) odwrotnie. To uwidocznia następująca tablica:

Przy stosunku $F_2 : F_1$	0,1	0,2	0,4	0,6	0,8	1,00
α jest w przybliżeniu =	0,60	0,61	0,63	0,67	0,73	1,00
ζ jest w przybliżeniu =	0,50	0,42	0,33	0,25	0,15	0,00

Opierając się więc na tych wzorach i tablicy, możemy przystąpić do obliczenia oporów, które powstają głównie w trójkach przy przejściach z magistrali do rozgałęzień. Ścisłej opory będą dwa:

- 1) przy wejściu do trójkownika z magistrali.
- 2) przy wyjściu z trójkownika do rozgałęzień.

Zanim przystąpimy do szczegółowego obliczenia tych oporów, należy mieć przygotowane pewne cyfry, którymi stale będziemy operować, a mianowicie płaszczyzny przekrojów trójkownika i różnej średnicy węży, gdyż i w pierwszym i w drugim wzorze te płaszczyzny (F_1 i F_2) grają prawie główną rolę.

	Trójkownik większy ma płaszczyznę	$F_{l_1} = 150 \text{ mm } \varnothing \times 90 \text{ mm} = 13.500 \text{ mm}^2$	
	„ mniejszy „	„ $F_{l_2} = 112 \text{ mm } \varnothing \times 65 \text{ mm} = 7.288$	„
Wąż o średn. $d_1 = 85 \text{ mm}$	„	$F_1 = \frac{\pi (d)^2}{4}$	$= 5.674$ „
„ „ $d_2 = 75$	„	$F_2 =$	$= 4.418$ „
„ „ $d_3 = 65$	„	$F_3 =$	$= 3.318$ „
„ „ $d_4 = 63$	„	$F_4 =$	$= 3.117$ „
„ „ $d_5 = 60$	„	$F_5 =$	$= 2.827$ „
„ „ $d_6 = 52$	„	$F_6 =$	$= 2.043$ „
„ „ $d_7 = 45$	„	$F_7 =$	$= 1.590$ „

Dla obliczenia oporów, jakie powstają w trójkownikach i węzłach przy wpływaniu wody do trójkownika i przy wypływananiu z niego wody do rozgałęzień, potrzebna jest jeszcze jej szybkość w węzłach i w trójkownikach.

Musimy ją przyjąć z góry dla węża 52 mm \varnothing , a zarazem jednakową ilość wody, przepływającej w daną jednostkę czasu przez wszystkie węzły magistralne i wylotowe każdego systemu, a to w tym celu, aby można było porównywać obliczane opory w jednakowych warunkach i z tych obliczeń wyciągnąć interesujące nas wnioski.

Przyjęcie średniej szybkości.

Jeśli zatem przyjmiemy, że średnia szybkość wody w wężu 52 mm \varnothing wynosi 3 m na sekundę, to otrzymamy, że siławka, tłocząca wodę przez ten wąż, podaje wody na minutę:

$$Q = 60 \cdot F \cdot v,$$

gdzie Q — ilość wody na minutę w litrach; F — płaszczyna przekroju w węźu w dcm^2 ; $F = 0,2043 \text{ dcm}^2$; v — szybkość wody na sekundę w dcm ; $v = 30 \text{ dcm}$.

Wtedy:

$$Q = 60 \cdot 0,2043 \cdot 30; \quad Q = \sim 360 \text{ litr.}$$

Jest to średnia wydajność mniejszej sikawki silnikowej, pracującej na jeden lub dwa prądy przez pyszczki, czyli działającej w normalnych warunkach.

Przyjmując więc tę wydajność dla wszystkich systemów magistrali i rozgałęzień, będziemy mieli w węzłach tłocznych o różnej średnicy, różne szybkości wody, co się da ułożyć w poniższej tablicy.

Przy obliczaniu tych szybkości posługujemy się następującym wzorem:

$$F_1 v_1 = F_2 v_2; \quad \text{czyli } v_2 = \frac{v_1 F_1}{F_2};$$

Ustalenie szybkości w trójnikach i w węzłach.

W większym trójniku szyb. będzie $v_{t_1} = 3 \cdot \frac{2,043}{13,500} = \sim 0,46 \text{ m}$

w mniejszym " " " $v_{t_2} = 3 \cdot \frac{2,043}{7,287} = \sim 0,84 \text{ m}$

W węźu 85 mm \emptyset $v_1 = 3 \cdot \frac{2,043}{5,674} = \sim 1,08 \text{ m}$

" 75 mm \emptyset $v_2 = 3 \cdot \frac{2,043}{4,418} = \sim 1,4 \text{ m}$

" 65 mm \emptyset $v_3 = 3 \cdot \frac{2,043}{3,318} = \sim 1,85 \text{ m}$

" 63 mm \emptyset $v_4 = 3 \cdot \frac{2,043}{3,117} = \sim 1,97 \text{ m}$

" 60 mm \emptyset $v_5 = 3 \cdot \frac{2,043}{2,827} = \sim 2,17 \text{ m}$

" 52 mm \emptyset $v_6 = 3 \cdot \frac{2,043}{2,043} = \sim 3,00 \text{ m}$

" 45 mm \emptyset $v_7 = 3 \cdot \frac{2,043}{1,590} = \sim 3,8 \text{ m}$

Ponieważ linie wężowe, którymi woda wypływa z trójników, są podwójne, potrójne i poczwórne, więc musimy jeszcze obliczyć szybkość wody w tych równoległych liniach.

W hamburskiej straży przyjęto, że z trójnika większego wychodzą 2 linie po 63 mm \varnothing a potem z 2-ch mniejszych trójników 4 po 45 mm \varnothing .

Zatem:

Szybkość w 2-ch wężach po 63 mm \varnothing będzie

$$v_4' = \frac{3.2043}{2.3117} = \sim 0,965 \text{ m}$$

Szybkość w 4-ch wężach po 45 mm \varnothing będzie

$$v_7' = \frac{3.2043}{4.1590} = \sim 0,95 \text{ m}$$

W innych miastach niemieckich zazwyczaj magistrala 75 mm \varnothing rozgałęzia się na 3 węże po 45 mm \varnothing .

Szybkość wtedy w 3 wężach 45 mm \varnothing będzie

$$v_7'' = \frac{3.2043}{3.1590} = \sim 1,25 \text{ m}$$

We Włoszech z magistrali 60 mm \varnothing rozgałęzienie daje 2 linie po 45 mm \varnothing . Zatem szybkość w 2 liniach po 45 mm \varnothing będzie

$$v_7''' = \frac{3.2043}{2.1590} = \sim 1,9 \text{ m}$$

W Warszawskiej Straży przyjęto z magistrali 65 mm \varnothing dawać 2 rozgałęzione linie po 52 mm \varnothing .

Zatem szybkość w 2 liniach po 52 mm \varnothing będzie

$$v_6' = \frac{3.2043}{2.2043} = \sim 1,5 \text{ m}$$

Mając wszystkie powyższe określenia, możemy przystąpić do obliczenia oporów.

I. Obliczenie oporów dla systemu hamburskiej straży.

Opory w węzłach systemu hamburskiego.

1-szy opór przy przejściu wody z magistrali 85 mm \varnothing do większego trójnika:

$$h_{1H} = \frac{v_{t1}^2}{2g} \left(\frac{F_{t1}}{F_1} - 1 \right)^2 \quad h_{1H} = \frac{(0,45)^2}{2 \cdot 9,81} \left(\frac{13.500}{5.674} - 1 \right)^2;$$

$$h_{1H} = \sim 0,2 \text{ m.}$$

2-gi opór przy wyjściu wody z trójnika do 2-ch linii 63 mm \varnothing

$$h_{2H} = \zeta \frac{(v_4')^2}{2g}$$

ζ bierzemy z tablicy (str. 64).

Ponieważ stosunek $2 F_4 : F_{t1} = 6234 : 13.500$ wynosi około 0,5 więc

$$\zeta = \frac{0,38 + 0,25}{2} = 0,29.$$

Zatem

$$h_{2H} = 0,29 \frac{(0,965)^2}{2 \cdot 9,81}; \quad h_{2H} = \sim 0,014 \text{ m}$$

3-ci opór przy wejściu wody z podmagistrali 63 mm \varnothing do trójników mniejszych.

$$h_{3H} = \frac{v_{t2}^2}{2g} \left(\frac{F_{t2}}{F_4} - 1 \right)^2; \quad h_{3H} = \frac{(0,84)^2}{2 \cdot 9,81} \left(\frac{7.287}{3.117} - 1 \right)^2;$$

$$h_{3H} = 0,09 \text{ m.}$$

Ponieważ są 2 trójniki, zatem $2 h_{3H} = 0,18 \text{ m.}$

4-ty opór przy wyjściu wody z 2-ch trójników do 4-ch węży po 45 mm \varnothing $h_{4H} = \zeta \frac{(v_7')^2}{2g}$; ζ z tablicy przy stosunku

$2 \times 1590 : 7287 \text{ m}$ wynosi — 0,4 więc $\zeta = 0,33$.

Zatem

$$h_{4H} = 0,33 \frac{(0,095)^2}{2 \cdot 9,81}; \quad h_{4H} = \sim 0,015.$$

A dla 2-ch trójników $2 h_{4H} = 0,03 \text{ m.}$

Zatem opór ogólny przy zmianie przekroju węży z magistrali 85 mm \varnothing na 2 podmagistrale po 63 mm \varnothing i z tych na 4 węże po 45 mm \varnothing w Hamburgskiej Straży Pożarnej wyniesie:

$$H_{IH} = h_{1H} + h_{2H} + 2h_{3H} + 2h_{4H};$$

$$H_{IH} = 0,2 + 0,014 + 0,18 + 0,03;$$

$H_{IH} = 0,424$ m (ciśnienie słupa wody 0,425 m wysokości czyli około 0,04 atmosfery).

II. Obliczenie dla systemu niemieckiego: z magistrali 75 mm \varnothing na 3 węże po 45 mm \varnothing

Opory w węzłach systemu niemieckiego.

1-szy opór:

$$h_{1N} = \frac{v_{r2}^2}{2g} \left(\frac{F_{r2}}{F_2} - 1 \right)^2; \quad h_{1N} = \frac{(0,84)^2}{2 \cdot 9,81} \left(\frac{7,287}{4,418} - 1 \right)^2;$$

$$h_{1N} = 0,015 \text{ m.}$$

2-gi opór:

$$h_{2N} = \zeta \frac{(v_r'')^2}{2g}; \quad \zeta \text{ wynika ze stosunku}$$

$$3 \times 1590 : 7,287 = 0,63; \quad \zeta = 0,25; \quad h_{2N} = 0,25 \frac{(1,25)^2}{2 \cdot 9,81};$$

$$h_{2N} = 0,02 \text{ m.}$$

Zatem opór II-go systemu wypada:

$$H_{II} = h_{1N} + h_{2N}; \quad H_{II} = 0,015 + 0,02; \quad H_{II} = 0,035 \text{ m.}$$

Czyli H_I w niemieckich strażach wyniesie 0,0035 atm.

III. Obliczenie oporów w systemie włoskich straży pożarnych z magistrali 60 mm \varnothing na 2 węże po 45 mm \varnothing

Opory w węzłach typu włoskiego.

1-szy opór:

$$h_{1Wl} = \frac{v_{r2}^2}{2g} \left(\frac{F_{r2}}{F_5} - 1 \right)^2; \quad h_{1Wl} = \frac{(0,84)^2}{2 \cdot 9,81} \left(\frac{7,287}{2,827} - 1 \right)^2;$$

$$h_{1Wl} \approx 0,09 \text{ m.}$$

2-gi opór:

$$h_{2wI} = \zeta \frac{(v_1''')^2}{2g}; \zeta \text{ wynika ze stosunku } 2 \times 1.590 : 7287 = 0,4;$$

$$\zeta = 0,33; h_{2wI} = 0,33 \frac{(1,9)^2}{2 \cdot 9,81}; w_{2wI} = 0,06.$$

Czyli:

$$H_{III} = h_{1wI} + h_{2wI}; H_{III} = 0,09 + 0,06; H_{III} = 0,15 \text{ m.}$$

IV. Obliczenie dla systemu przyjętego w Warszawskiej Straży Pożarnej z magistrali 65 mm Φ na 2 węże po 52 mm Φ .

Opory w węzłach Straży Warszawskiej.

1-szy opór:

$$h_{1wr} = \frac{v_{t2}^2}{2g} \left(\frac{F_{t2}}{F_3} - 1 \right)^2; h_{1wr} = \frac{(0,84)^2}{2 \cdot 9,81} \left(\frac{7,287}{3,318} - 1 \right)^2;$$

$$h_{1wr} = \sim 0,053 \text{ m.}$$

2-gi opór:

$$h_{2wr} = \zeta \frac{(v'_6)^2}{2g}; \zeta \text{ z tablicy przy } 2 \times 2,048 : 7281 = 0,6; \zeta = 0,25.$$

$$h_{2wr} = 0,25 \frac{(1,5)^2}{2 \cdot 9,81}; h_{2wr} = 0,028 \text{ m.}$$

$$H_{IV} = h_{1wr} + H_{wr}; H_{IV} = 0,053 + 0,028; H_{IV} = 0,081 \text{ m.}$$

V. Obliczenie dla systemu większości polskich straży, w którym magistrali i oba węże wylotowe są o jednej i tej samej średnicy 52 mm — 2".

Opory w węzłach syst. polskiego.

1-szy opór:

$$h_1 = \frac{v_{t2}^2}{2g} \left(\frac{F_{t2}}{F_6} - 1 \right)^2; h_1 = \frac{(0,84)^2}{2 \cdot 9,81} \left(\frac{7,284}{2,043} - 1 \right)^2;$$

$$h_1 = \sim 0,08 \text{ m.}$$

2-gi opór:

$$h_2 = \zeta \frac{(v_6')^2}{2g}; \quad \zeta \text{ z tablicy przy stosunku } 2 \times 2043 : 7.287 = \sim 0,6,$$

$$\text{zatem } \zeta = 0,25$$

$$h_2 = 0,25 \frac{(1,5)^2}{2 \cdot 9,81}; \quad w_2 = \sim 0,03 \text{ m}$$

$$H_V = h_1 + h_2; \quad H_V = 0,08 + 0,03; \quad H_V = 0,11 \text{ m.}$$

Zestawmy więc otrzymane wyliczenia oporów przy przepływananiu wody z magistrali do trójników i z tych do węży wylotowych.

$H_I = 0,424 \text{ m}$	w syst. hamburskim	(3 trójniki i 4 prądy),
$H_{II} = 0,035 \text{ m}$	„ niemieckim	(1 trójnik i 3 „),
$H_{III} = 0,15 \text{ m}$	„ włoskim	(1 „ i 2 „),
$H_{IV} = 0,081 \text{ m}$	„ warszawskim	(1 „ i 2 „),
$H_V = 0,11 \text{ m}$	„ polskim	(1 „ i 2 „),

Z powyższego wynika, że najmniejsze opory są w systemie niemieckim, potem w warszawskim, następnie w polskim, większe we włoskim, a największe w hamburskim; lecz trzeba tu wziąć pod uwagę, że w ostatnim systemie mamy 3 trójniki i 4 prądy.

Następnie obliczyć musimy opory, wywołane przez tarcie wody w liniach węzowych tych samych pięciu systemów.

Widzimy z poprzednich obliczeń, że w stosunku do innych oporów, na jakie trafiają prądy wody w liniach węzowych, opory, powodowane przez zmianę przekrojów, są bardzo niewielkie, bo wynoszą zaledwie od 0,0035 do 0,04 atmosfery. Otóż z innych oporów, powstających przez tarcie i przy zmianie kierunków, największą rolę gra opór tarcia i w naszym zagadnieniu jest on decydujący.

Obliczenie oporu tarcia.

Przystępuję więc do obliczenia oporów tarcia we wszystkich pięciu systemach, przy czym przyjmuję przeciętną długość magistrali i linii wylotowych, jakie spotykamy często przy pożarach, a mianowicie:

Magistrala złożona jest z 5 węży tłocznych po 20 m długości, a linie wylotowe mają każda po 2 odcinki też 20 metrowej długości. Dla niezwiększania ilości odcinków w systemie hamburskim i niemieckim, przyjmuję, że główna magistrala składa się z 3 od-

cinków 85 mm \varnothing ; od niej idą 2 podmagistrale, każda po jednym odcinku 63 mm \varnothing , a od tych prowadzą 4 wylotowe linie po jednym odcinku 45 mm \varnothing .

W niemieckim systemie przyjmuję, że magistrala składa się z 5 odcinków 75 mm \varnothing , a linie wylotowe: jedna z dwóch odcinków, a dwie inne po jednym odcinku, razem 4 odcinki po 20 m długości 45 mm \varnothing .

Ogólny wzór hydrauliczny, służący do obliczenia oporów tarcia, jest, jak wyżej mówiłem, następujący:

$$h = \lambda \frac{l v^2}{d 2g}, \text{ gdzie}$$

h — wysokość tarcia t. j. strata na wysokości ciśnienia, powstała wskutek tarcia, wyrażona w metrach,

λ — współczynnik tarcia,

l — długość przewodu w metrach,

d — średnica prześwitu przewodu rurowego w metrach,

v — prędkość przepływu wody w metr./sek.,

g — przyspieszenie ciężkości w m/sek.² (= 9,81 m),

Współczynnik λ bywa, jak widzieliśmy, określane różnie:

$$\text{Według Darcy'ego: } \lambda = \left(0,01989 + \frac{0,0005078}{d} \right) \sigma,$$

gdzie $\sigma = 1$ dla rur gładkich (węże gumowane); $\sigma = 1,5$ dla rur nieco chropowatych (zardzewiałych) i $\sigma = 2$ dla rur bardzo chropowatych ($\sigma = 2,2$ dla węży parcianych).

$$\text{Według Weisbach'a: } \lambda = 0,01439 + \frac{0,0094711}{\sqrt{v}}$$

$$\text{Według Dupuit'a: } \lambda = 0,03025.$$

Ponieważ różnice w powyższych określeniach λ są bardzo nieznaczne, przeto dla uproszczenia obliczeń przyjmujemy: $\lambda = 0,03025$.

Mając te wszystkie potrzebne dane, możemy przystąpić do obliczenia oporów tarcia we wszystkich pięciu systemach.

Opory tarcia w syst. hamburskim.

I. System hamburski: 3 węże (60 m) 85 mm \varnothing ; 2 (40 m) 63 mm \varnothing i 4 (80 m) 45 mm \varnothing .

$$h_1 = 0,03025 \cdot \frac{60}{0,085} \frac{(1,08)^2}{2 \cdot 9,81}; \quad h_1 = \sim 1,26 \text{ m.}$$

$$h_2 = 0,03025 \cdot \frac{40}{0,063} \frac{(0,965)^2}{2 \cdot 9,81}; \quad h_2 = \sim 0,901 \text{ m.}$$

$$h_3 = 0,03025 \cdot \frac{80}{0,045} \frac{(0,95)^2}{2 \cdot 9,81}; \quad h_3 = \sim 2,46 \text{ m.}$$

Całkowity opór tarcia na całej linii:

$$H_{IT} = h_1 + h_2 + h_3; \quad H_{IT} = 4,621 \text{ m.}$$

Opory tarcia w systemie niemieckim.

II. *System niemiecki*: 5 węży (100 m) 75 mm \varnothing i 4 (80 m) 45 mm \varnothing .

$$h_1 = 0,03025 \cdot \frac{100}{0,075} \frac{(1,4)^2}{2 \cdot 9,81}; \quad h_1 = 4,03 \text{ m.}$$

$$h_2 = 0,03025 \cdot \frac{80}{0,045} \frac{(1,25)^2}{2 \cdot 9,81}; \quad h_2 = 3,92 \text{ m.}$$

Opór całkowity tarcia na całej linii:

$$H_{IT} = h_1 + h_2; \quad H_{IT} = 7,95 \text{ m.}$$

Opory tarcia w systemie włoskim.

III. *System włoski*: 5 węży (100 m) 60 mm \varnothing i 4 (80 m) 45 mm \varnothing .

$$h_1 = 0,03025 \cdot \frac{100}{0,060} \frac{(2,17)^2}{2 \cdot 9,81}; \quad h_1 = 12,1 \text{ m.}$$

$$h_2 = 0,03025 \cdot \frac{80}{0,045} \frac{(1,9)^2}{2 \cdot 9,81}; \quad h_2 = 9,9 \text{ m.}$$

Opór całkowity tarcia na całej linii:

$$H_{IT} = h_1 + h_2; \quad H_{IT} = 22 \text{ m.}$$

Opory tarcia w systemie warszawskim.

IV. *System warszawski*: 5 węży (100 m) 65 mm \varnothing i 4 52 mm \varnothing .

$$h_1 = 0,03025 \cdot \frac{100}{0,065} \frac{(1,85)^2}{2 \cdot 9,81}; \quad h_1 = 8,12 \text{ m.}$$

$$h_2 = 0,03025 \cdot \frac{80}{0,051} \frac{(1,5)^2}{2 \cdot 9,81}; \quad h_2 = 5,47 \text{ m.}$$

Opór całkowity tarcia na całej linii:

$$H_{IVT} = h_1 + h_2; \quad H_{IVT} = 13,59 \text{ m.}$$

V. System polskich straży pożarnych: 5 węży (100 m) 52 mm \varnothing i 4 (80) 52 mm \varnothing .

$$h_1 = 0,03025 \cdot \frac{100}{0,051} \frac{(3)^2}{2 \cdot 9,81}; \quad h_1 = 27,18 \text{ m.}$$

$$h_2 = 0,03025 \cdot \frac{80}{0,051} \frac{(1,5)^2}{2 \cdot 9,81}; \quad h_2 = 5,47 \text{ m.}$$

Opór całkowity tarcia na całej linii:

$$H_{VT} = h_1 + h_2; \quad H_{VT} = 32,65 \text{ m.}$$

Zsumujmy teraz opory przy zmianie przekroju i opory tarcia dla każdego systemu.

Dla I-go systemu *hamburskiego*:

$$H_I = H_{IP} + H_{IT}; \quad H_I = 0,424 + 4,621; \quad H_I = 5,45 \text{ m } (\sim 0,5 \text{ atm}).$$

Dla II-go systemu *niemieckiego*:

$$H_{II} = H_{IIP} + H_{IIT}; \quad H_{II} = 0,035 + 7,95;$$

$$H_{II} = 7,99 \text{ m } (\sim 0,8 \text{ atm}).$$

Dla III-go systemu *włoskiego*:

$$H_{III} = H_{IIIP} + H_{IIIT}; \quad H_{III} = 0,15 + 22,0;$$

$$H_{III} = 22,15 \text{ m } (\sim 2,2 \text{ atm}).$$

Dla IV-go systemu *warszawskiego*:

$$H_{IV} = H_{IVP} + H_{IVT}; \quad H_{IV} = 0,081 + 13,59;$$

$$H_{IV} = 13,67 \text{ m } (\sim 1,4 \text{ atm}).$$

Opór tarcia:

$$h_1 = 0,03025 \cdot \frac{100}{0,072} \frac{(1,5)^2}{2 \cdot 9,81}; \quad h_1 = 5,24$$

$$h_2 = 0,03025 \cdot \frac{80}{0,051} \frac{(1,5)^2}{2 \cdot 9,81}; \quad h_2 = 5,47$$

$$H_{VIT} = h_1 + h_2; \quad H_{VIT} = 10,71 \text{ m.}$$

Całkowity opór:

$$H_{VI} = H_{VIP} + H_{VIT}; \quad H_{VI} = 10,78 \text{ m.}$$

Wobec znacznej różnicy pomiędzy systemem ostatnim z magistralą 72 mm \varnothing i wylotyowymi węzami 52 mm \varnothing a systemem, w którym wszystkie węże są jednakowe, zachodzi pytanie, czy dla sikawek silnikowych nie należałoby wprowadzić specjalnych magistralnych węży o średnicy 72 mm ew. 70 lub 75 mm.

Z jednej strony trudno zaprzeczyć, że opory, a szczególnie opór tarcia, w systemie o jednakowych węzach jest bez porównania większy od takiego samego oporu w systemie o magistrali 72 lub 75 mm \varnothing . jednak wożenie dwojakiego rodzaju węży jest bardzo kłopotliwe i pociąga za sobą większe wydatki na znacznie droższe węże, większe i cięższe zwijadła, a przy tym przy dłuższych liniach nieraz węża magistralnego może zabraknąć i wtedy przez zastąpienie brakującej części przez węże mniejsze wylotowe wytwarza się również dławienie wody i prawie takie same opory jak w systemie o jednakowych węzach.

Niektóre systemy zalecają prowadzenie zamiast jednej linii magistralnej o większej średnicy, dwóch równoległych linii o średnicy mniejszej (52 mm).

Przy wszystkich uprzednio dokonanych obliczeniach oporów i strat ciśnienia w liniach węzowych, nie braliśmy pod uwagę jeszcze jednego oporu, jaki przedstawia każdy łącznik, w którym są zawsze dwie zmiany przekrojów: zwężenie przewodu i rozszerzenie. Opory te jednak, jak to już widzieliśmy wyżej, są nieznaczne, o czym przekonamy się z paru tablic, podanych niżej.

Zagadnieniem strat w liniach węzowych, spowodowanych tarciem wody i łącznikami, zajęło się paru specjalistów: inż. Otto Sander ze straży pożarnej w Hamburgu oraz dyr. Weigand wraz z prof. Kellerbauerem w Chemnitz.

Doświadczenia praktyczne z węzami i łącznikami.

Nie będę tu wyliczał całego szeregu doświadczeń, przeprowadzonych przez tych badaczy, a ograniczę się tylko do paru tablic więcej charakterystycznych, w których doskonale uwidoczniają się wpływy tarcia w węzach gumowanych i parcianych oraz wpływy oporu łączników, znajdujących się w liniach węzowych.

Próby z węzami na tarcie.

Doświadczenia z oporem tarcia były przeprowadzone na linii 44 mm \varnothing , 105 m długiej, złożonej z węży gumowanych i węży parcianych.

Oznaczamy przez:

- v — szybkość przeciętną wody w metrach na sek.;
 d — średnicę pyszczka, przez który był puszczony prąd;
 h_1 — ciśnienie w początku linii węzowej w at.
 h_2 — ciśnienie w końcu linii węzowej w at.
 $h_1 - h_2$ — spadek ciśnienia wywołany przez opór tarcia;
 h/l — spadek ciśnienia wywołany przez opór tarcia w 1 metrze bież. węża;
 Q — ilość wody przepływającej w litrach na minutę.

XI TABLICA.

Doświadczenia z węzami.

Jakość węży	d mm	v m/sek.	h_1 at.	h_2 at.	$h_1 - h_2$ at.	h/l at.	Q litr/min.
Gumowane	13	1,64	3,3	2,4	0,9	0,085	150
	14	2,08	3,2	2,0	1,2	0,115	190
	15	2,20	3,2	1,7	1,5	0,146	200
	16	2,30	3,1	1,5	1,5	0,146	210
Parciane	13	1,35	4,1	1,9	2,2	0,210	165
	14	1,97	4,0	1,5	2,5	0,238	180
	15	1,97	3,9	1,1	2,8	0,267	180
	16	1,97	3,9	0,9	3,0	0,286	180

Widzimy z tej tablicy, że w miarę zwiększania szybkości, opór przez tarcie znacznie rośnie, przy czym daleko szybciej w węzach parcianych niż gumowanych.

Dla doświadczeń z łącznikami i określenia, jakie opory one stwarzają na linii węzowej, aby łatwiej można było obliczyć różnicę spadku ciśnienia wskutek oporu przez nie wytworzonego, wzięte było do prób 6 węży gumowanych po 5 m długości każdy o średnicy 46,7 mm, czyli otrzymano linię 30 m długą z 5 łącznikami. Storz'a. Łączniki miały obsadę (tuleję) o średnicy wewnętrznej 39,5 mm czyli grubość ścianek wynosiła 3,6 mm. Pyszczyk na prądownicy miał wylot 13 mm \varnothing . Próby były prowadzone przy różnych ciśnieniach i ilościach przepływającej wody, przy czym jedna próba odbywała się przy użyciu węża 30 m długości bez łączników, a druga — węża 30 m dł. z łącznikami.

XII TABLICA.

Doświadczenia z łącznikami.

Rodzaj próby	Ilość przepł. wody Q litr.	Szybkość przepływu v m/sek.	Ciśnienie na początku linii	Ciśnienie na końcu linii	Spadek ciśn. atm.	Różnica spadku	% spadku	% spadku na 1 łączn.
Bez łączn.	150	1,46	2,014	1,916	0,098	} 0,051	52	10,4
Z łączn.	150	1,46	2,000	1,851	0,149			
Bez łączn.	226	2,21	3,000	2,759	0,241	} 0,063	21,9	4,38
Z łączn.	180	1,79	3,000	2,696	0,304			
Bez łączn.	214	2,08	3,992	3,633	0,359	} 0,048	13,4	2,68
Z łączn.	210	2,05	4,000	3,593	0,407			
Bez łączn.	256	2,5	5,000	4,529	0,471	} 0,050	10,61	2,11
Z łączn.	240	2,34	5,000	4,479	0,521			

Charakterystyczne jest tu zjawisko, że im szybciej płynie woda przez wąż, tym stosunkowo mniejszy jest opór przy łącznikach.

9. Wzlot i przelot swobodnych prądów wodnych.

Wzlotem nazywamy wysokość pionowego prądu wody, wyrzuconej pod ciśnieniem przez pyszczek prądownicy z silnika lub hydrantu. Przelotem — najdalszy zasięg prądu przy pochyleniu prądownicy pod kątem około 32° (31° — 34°) do poziomu.

Wzlot i przelot prądu wody zależny jest od kilku czynników: od ciśnienia wody w sikawce lub hydrancie, od jej ilości, podawanej w pewnym okresie czasu (na sekundę), co jest we wzajemnej zależności od przekroju i formy pyszczka, wreszcie od stanu powietrza (cisza, wiatr).

Pomijając czynniki podstawowe, jak ciśnienie i ilość wody, najważniejszym warunkiem dobrego, silnego i zwarteo prądu jest przekrój pyszczka i jego odpowiednia forma. O tym należy pomówić obszerniej.

Formy pyszczka.

Od kilkudziesięciu lat hydraulicy i działacze w dziedzinie pożarnictwa pracowali nad ustaleniem najbardziej racjonalnej formy pyszczka, która zapewniałaby najwięcej zwarty i jednolity prąd, sięgający jak najdalej swoją skupioną masą wody.

Najwięcej zasług położył na tym polu prof. Weisbach, ze wzorami którego spotkaliśmy się w poprzednich działach. Opracował on cały szereg wzorów i różne typy wylotów do prądów wodnych jeszcze w latach 1856, 1857.

Jako więcej charakterystyczne podamy trzy pyszczki:

a) krótki o zaokrąglonym wylocie (rys. 46).

Dla określenia wysokości wzlotu prof. Weisbach skreślił następujący wzór:



Rys. 46.

$$h_w = \frac{H}{1,027 + 0,000476 H + 0,00095614 H^2}$$

gdzie H — ciśnienie wody,
 h_w — ciśnienie wzlotu.

Odpowiednio zestawione są wielkości wzlotów przez ten puszczek w poniższej tablicy XIII-ej. Puszczek 10 mm \varnothing .

XIII TABLICA.

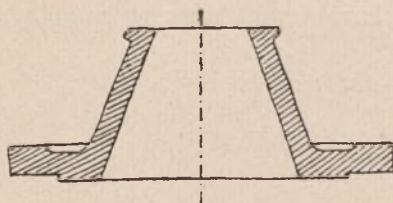
Wzloty przy puszczku zaokrąglonym.

Ciśnienie Hm	Wzlot h_{wm}	Ciśnienie Hm	Wzlot h_{wm}	Ciśnienie Hm	Wzlot h_{wm}	Ciśnienie Hm	Wzlot h_{wm}
1	0,97	4	3,83	10	8,87	16	12,50
2	1,94	6	5,64	12	10,26	18	13,39
3	2,89	8	7,33	14	11,47	20	14,10

Widzimy, że w miarę zwiększania ciśnienia wody, wzlot rośnie, ale w pewnym stopniu jednak wolniej niż ciśnienie.

b) Puszczek krótki, stożkowy (rys. 47).

Wysokość wzlotu określona jest następującym wzorem:



Rys. 47.

$$h_w = \frac{H}{1,0162 + 0,007107 H + 0,000406 H^2}$$

Wysokość wzlotów przez puszczek krótki stożkowy 10 mm \varnothing przedstawia tablica XIV-ta.

XIV TABLICA.

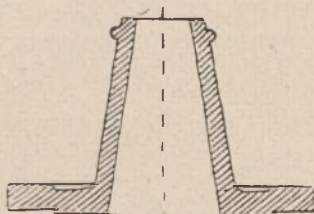
Wzloty przy puszczku krótkim stożkowym.

Ciśnienie $H m$	Wzlot $h_w m$	Ciśnienie $H m$	Wzlot $h_w m$	Ciśnienie $H m$	Wzlot $h_w m$
1	0,98	9	8,08	18	14,11
3	2,88	12	10,34	20	15,14
6	5,59	15	12,36	22	16,06
				24	16,90

I na tej tablicy widzimy podobny stosunek wysokości wzlotów do wysokości ciśnienia.

c) Puszczek długi stożkowy (rys. 48).

Wysokość wzlotu znajdujemy we wzorze następującym:



Rys. 48.

$$h_w = \frac{H}{1,0453 + 0,000373 H + 0,000859 H^2}$$

Wysokość wzlotów przez długi stożkowy puszczek 10 mm \varnothing pokazuje tablica XV-ta:

XV TABLICA.

Wzloty przy puszczku długim stożkowym.

Ciśnienie $H m$	Wzlot $h_w m$	Ciśnienie $H m$	Wzlot $h_w m$	Ciśnienie $H m$	Wzlot $h_w m$
1	0,96	7	6,43	14	11,48
3	2,85	9	8,05	15	12,59
5	4,68	12	10,24	18	13,54
				20	14,32

Przy porównaniu tych trzech form pyszczków widoczna jest przewaga stożkowego krótkiego pyszczka.

Weisbach czynił doświadczenia jeszcze z kilkoma typami pyszczków, biorąc następujące trzy typy:

- d) w postaci dyszy dłuższej do 100 mm;
- e) stożkowy długi 245 mm;
- f) rurę 150 mm długą zaokrągloną

i zestawił w poniższej tabelicy XVI-ej, przy czym podał stosunek $h : H$ wysokość wzlotu do ciśnienia wody:

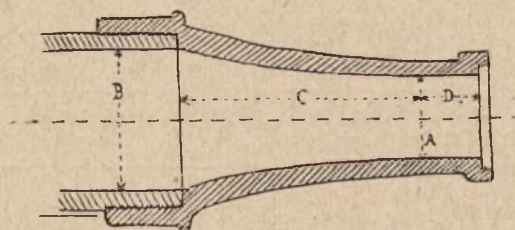
XVI TABLICA.

Doświadczenia Weisbacha z 6-ma pyszczkami.

Typ pyszcza	Stosunek $h_w : H$ przy ciśnieniu H atm.			Typ pyszcza	Stosunek $h_w : H$ przy ciśnieniu H atm.		
	0.5	1.0	1.5		0.5	1.0	1.5
<i>a</i>	0,950	0,887	0,801	<i>d</i>	0,960	0,928	0,884
<i>b</i>	0,942	0,886	0,824	<i>e</i>	0,950	0,927	0,876
<i>c</i>	0,936	0,881	0,804	<i>f</i>	0,754	0,718	0,672

Widzimy przy porównywaniu stosunku $h : H$ przy różnych typach pyszczków, że najlepsze wyniki dają typy *d* i *e*, natomiast rura typu *f* — najgorsze. Weisbach uznaje pyszczki za najlepsze stożkowe z pochyleniem bocznym 6° w całkowitej długości równej $10 d$ (10-krotnej średnicy).

Pyszczeł Wacha.



Rys. 49.

Szereg konstruktorów pracowało nad ulepszeniem formy pyszczka. Między innymi, udało się Wachowi zbudować pyszczek

o bardzo dobrych i łagodnych liniach zwężenia, którego rysunek tu podajemy (rys. 49). Poniższa tablica XVII określa (w przybliżeniu) ustalone przez Wacha główne wymiary pyszczka.

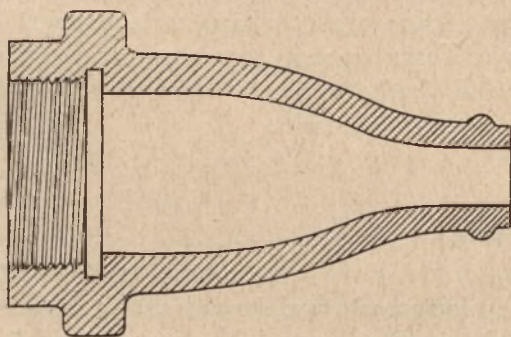
XVII TABLICA.

Główne wymiary pyszczka Wacha.

A mm	B mm	C mm	D mm	A mm	B mm	C mm	D mm
8	15	23	6	16	26	48	12
10	17	28	7	18	30	55	13
12	20	33	8	20	35	60	14
14	23	42	10	25	40	75	20

Pyszczyk butelkowy.

Pewne niewielkie załamanie, jakie się tworzy w pyszczku Wacha przy przejściu z części cylindrycznej przy obsadzie pyszczka na wylocie prądownicy ku części zwężającej się pyszczka, zmusiło niektórych konstruktorów do dążeń ku złagodzeniu załamania. Między innymi, otrzymana została forma t. zw. bu-



Rys. 50.

telkowa, którą przedstawia rys. 50-y. Zaletą tego rodzaju formy jest stopniowe przejście z szerszej, cylindrycznej części pyszczka przy obsadzie w łagodne zwężenie o formie elipsoidalnej i z tej również łagodne przejście w paraboliczne zwężenie, kończące się ściśle cylindrycznym wylotem o średnicy pyszczka.

W ostatnich dziesiątkach lat konstruktorzy dążyli do budowy puszczka zmiennego, który by umożliwił dowolną zmianę grubości prądu podczas działania sikawki, bez jej zatrzymywania. Niektórzy usiłowali zbudować również puszczek rozpylający prąd, dać tarczę wodną, ochraniającą prądownika od żaru. Niektóre pomysły są bardzo udatne i do nich powrócimy na końcu tej książki, a obecnie zajmemy się zagadnieniem zasięgu wzlotów i przelotów.

Zasięg wzlotów i przelotów.

Jak było już wyżej wzmiankowane, zasięg t. zw. „bicia” t. j. odległości, na jaką sięga prąd, wyrzucony z prądownicy przy pracy z sikawki lub hydranta czy to wzwyz, t. j. pionowo, który nazywamy *wzlotem*, czy to w dal przy pochyleniu prądownicy pod kątem około 33° (od 31° — 35°) do poziomu, który nazywamy *przelotem*, zależy od ciśnienia wody, od formy puszczka i od stanu powietrza.

O formie najodpowiedniejszej do wytwarzania najdalszego zwartego prądu była mowa w poprzednim rozdziale. Należy tu jeszcze tylko dodać, że dłuższe, idealnie cylindryczne zakończenie puszczka wywiera wpływ dodatni na tę zwartość i skupienie wody w prądzie. Teraz wypadnie nam zapoznać się z wynikami szeregu pomiarów i badań oraz z wykresami krzywych, dotyczących wzlotów i przelotów prądu.

Badania Freemana.

Jednym z pierwszych, badających zasięg wzlotów i przelotów był amerykańin Freeman, który przeprowadził szereg doświadczeń z różnego rodzaju puszczkami, a między innymi z puszczkami średnicy wylotu (d) 19 mm i 35 mm przy różnych ciśnieniach wody, począwszy od $\frac{1}{2}$ atmosfery, a kończąc na 7 atm., przy czym brał pomiary dwojakie: tylko zwartych prądów od wylotu puszczka do końca ich skupienia t. j. do tego punktu, w którym prąd zaczyna się już rozdrabniać, oraz całkowitego zasięgu aż do ostatnich kropli.

XVIII TABLICA.

Wzlot i przelot w metrach	\varnothing λ mm	Ciśnienie wody H atmosfer								
		0,5	1,0	1,5	2,0	3,0	4,0	5,0	6,0	7,0
Wzlot h_w prądów skupio- nych przy wie- trze średnim	19	3,7	7,3	11,0	14,4	16,2	21,6	23,6	24,4	25,4
	35	4,0	7,9	11,6	15,2	18,3	24,4	27,7	29,6	31,0
	19	4,3	8,8	13,1	17,7	25,3	31,0	36,0	39,0	41,0
	35	4,6	9,5	14,0	18,3	27,8	36,0	43,0	48,0	50,0
Przelot h_p prądów skupio- nych przy wie- trze średnim	19	4,3	7,0	9,5	11,0	14,0	15,8	17,7	19,5	20,8
	35	5,5	9,5	13,1	15,8	20,4	23,0	25,0	27,0	28,7
	19	7,8	15,5	23,2	28,6	35,8	41,0	45,0	48,5	51,0
	35	8,8	17,4	26,6	39,2	47,8	55,0	62,0	67,0	72,0

W powyższym zestawieniu widoczny jest ogromny wpływ stanu powietrza na zasięg prądu: przy ciszy prąd pozostaje skupiony na dalszej odległości od puszczka, a ostatnie krople sięgają dalej; wiatr natomiast, nawet średni, skraca skupienie wody w prądzie, wywierając na długość zasięgu wpływ ujemny.

Wykresy Freemana.

Tenże badacz (Freeman) określił dokładnie wzloty i przeloty z trzech puszczków 22 mm (7/8") \varnothing , 25 mm (1") \varnothing i 28 mm (1 1/4") \varnothing przy różnych ciśnieniach wody: od 1/2 atm. do 6 atm. i nakreślił tablicę, którą podaję niżej (rys. 51).

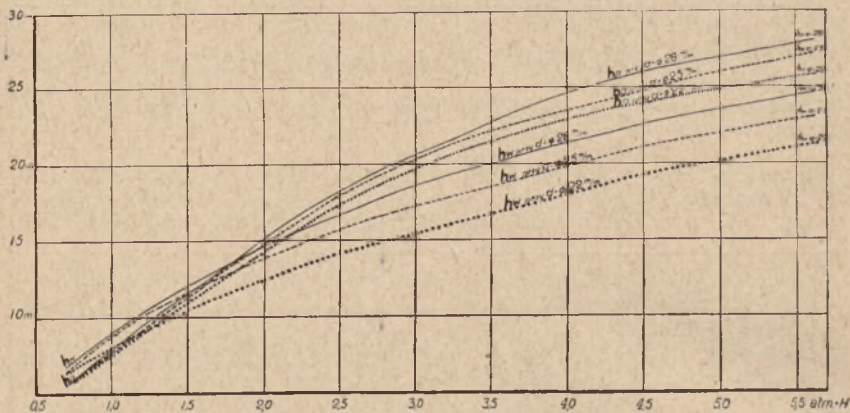
Odcięte x oznaczają ciśnienie wody H w atm.

Rzędne y oznaczają wysokość wzlotów h i odległość przelotów h_p .

Liniami ciągłymi są nakreślone krzywe dla puszczka $d=28$ mm \varnothing
 „ przerywanymi „ „ „ „ „ $d=25$ mm \varnothing
 „ punktowanymi „ „ „ „ „ $d=22$ mm \varnothing

Rozpatrując ten wykres widzimy, że przy jednym i tym samym ciśnieniu, tak wzloty jak i przeloty mają większy zasięg

przy puszczkach o większej średnicy i to jest zupełnie naturalne, gdyż im większa jest ilość wody wyrzuconej przez dany puszczek, tym skupienie tej masy dłużej się trzyma, więc wzlot jak i przelot są o większym zasięgu.



Rys. 51.

Freeman, Weisbach, Wach i inni badacze, przeprowadzając próby swoje przed kilkudziesięciu laty, używali do nich prądów od ręcznych, a przeważnie od parowych sikawek, w których ciśnienie wody było ograniczone do 6—7 atm.

Wykresy wzlotów i przelotów o większym ciśnieniu.

Obecnie wiadomo, że autopompy i motopompy odśrodkowe, dwu- i trzy-stopniowe są w stanie wytwarzać ciśnienie kilkunastu, a nawet do 20 i więcej atmosfer.

Wobec tego znacznej modyfikacji uległy i cyfry ze wzlotami i przelotami, których zasięg znacznie się zwiększył. Badacze i hydraulicy, określający stosunek zasięgu wzlotów i przelotów do wysokości ciśnienia wody w wężach i prądownicach, przeprowadzali różnego rodzaju próby, używając do nich prądów z sikawek odśrodkowych kilkostopniowych, poruszanych silnikami spalinowymi, szybkobieżnymi. Opracowany został cały szereg tablic porównawczych i wykresów.

Jedną z takich tablic, opracowaną w Niemczech, jak również i odpowiednie zestawienie wykresów, podajemy niżej.

XIX TABLICA.

Wzlotów i przelotów o większym ciśnieniu.

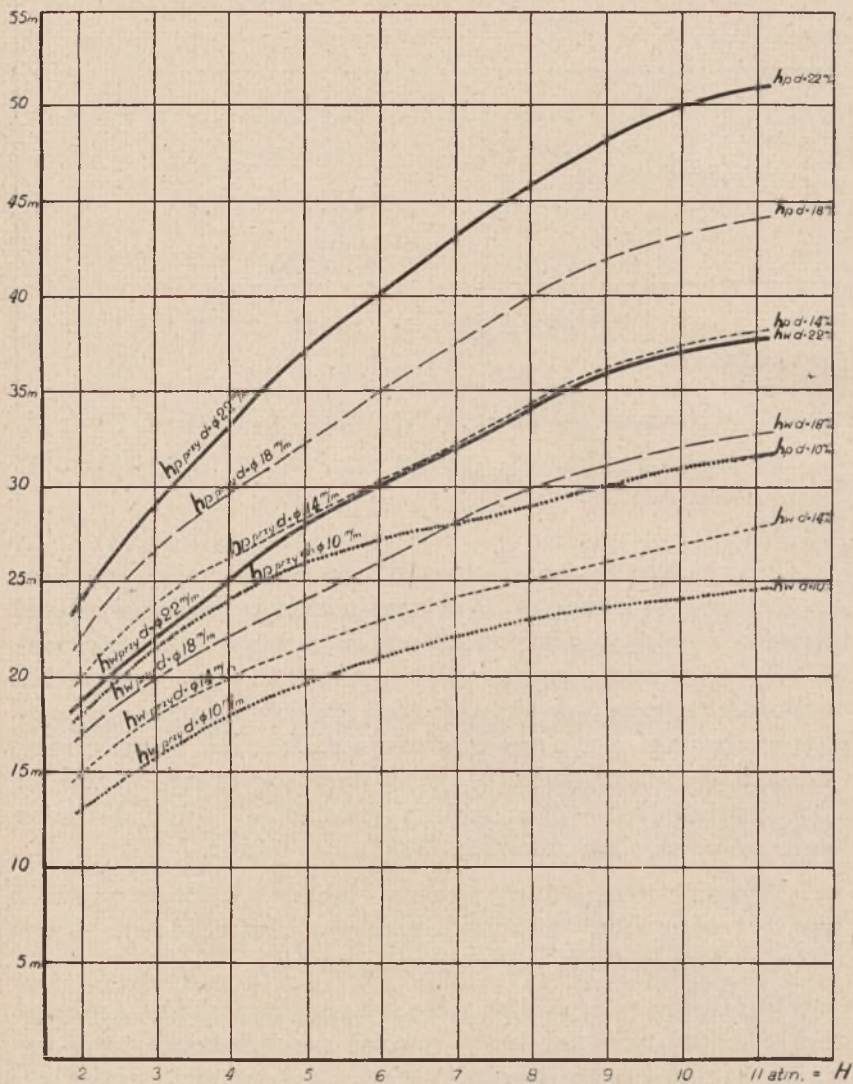
Wzloty h_w m Przeloty h_p m	Średnica pyszczka d —	Ciśnienie wody w prądownicy H atm.									
		2	3	4	5	6	7	8	9	10	
Wzloty h_w prądów skupionych w metrach	10 mm	13	16	18	19	21	22	23	23	24	
	14 mm	15	18	20	21	23	24	25	26	27	
	18 mm	17	20	22	24	26	28	30	31	32	
	22 mm	19	22	25	28	30	32	34	36	37	
Przeloty h_p prądów skupionych w metrach	10 mm	18	22	24	26	27	28	29	30	31	
	14 mm	20	24	26	28	30	32	34	35	36	
	18 mm	22	27	29	32	34	37	40	42	43	
	22 mm	24	29	33	37	40	43	46	48	50	

Zasięg wzlotów i przelotów jest podany w metrach w zaokrągleniach bez ułamków. Przy zestawieniu w tablicy wielkości zasięgów poszczególnych wzlotów oraz przelotów daje się zauważyć, że w miarę zwiększania się ciśnienia wody w wężu lub prądownicy, zasięg tak wzlotów jak i przelotów rośnie, lecz nieproporcjonalnie, a z pewnym zmniejszeniem. Tak np. gdy przy ciśnieniu $H = 3$ at. wzlot h_w przez pyszczek 18 mm \varnothing wynosi 20 m, a przelot h_p — 27 m, to przy ciśnieniu $H = 10$ at., h_w przez tenże pyszczek sięga zaledwie 32 m, a h_p — 43 m.

Wykresy, przedstawiające na tablicy wzloty i przeloty (rys. 52) przez cztery średnice pyszczków: 10 mm, 14 mm, 18 mm i 22 mm, potwierdzają powyższe spostrzeżenia.

Podaliśmy tu zestawienie tych zasięgów wzlotów i przelotów w jednej tylko tablicy, a również odpowiadające temu zestawieniu wykresy w jednym obrazie jako więcej wymowne i charakterystyczne.

Przechodzę teraz do ostatniego rozdziału niniejszej książki, do zobrazowania usiłowań i ulepszeń, poczynionych w ostatnich latach w prądownicach, a właściwie w ich pyszczkach.



Rys. 52.

IV. Prądownice udoskonalone o pyszczkach zmiennych i rozpylających.

Usiłowania konstruktorów w pomysłach nad ulepszeniem pyszczków szły w dwóch kierunkach: budowy takiego typu pyszczka, który pozwalałby zmieniać dowolnie i szybko grubość prądu bez zatrzymywania działania danej sikawki oraz skonstruowanie pyszczka, dającego idealny rozbryzg prądu, graniczący z mgłą.

A. PYSZCZKI ZMIENNE.

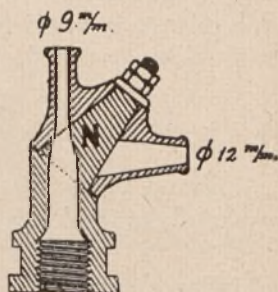
Trzy rodzaje pyszczków zmiennych.

Pyszczki zmienne są trzech typów: *rewolwerowe, kauczukowe i wrzecionowe*. Pierwszy, najdawniej wynaleziony jest

1. Pyszczyk rewolwerowy.

Składowe części pyszczka rewolwerowego.

Na rys. 53 jest przedstawiony przekrój tego pyszczka. Składa się on z dwóch części odlanych z brązu lub mosiądzu: z właściwego pyszczka z bocznym, ukośnym nadlewem (*N*), pod kątem 45° do prądownicy, który służy jako oś. Naokoło tej osi obraca się druga część pyszczka w rodzaju jakby ściętego stożka, w którym są odlane cztery wyloty pyszczka pod kątem również 45° w stosunku do osi nadlewu tak, że przy obracaniu tym stożkiem zawsze jeden z tych wylotów staje na jednej linii z osią prądownicy i stanowi swym pyszczkiem jej przedłużenie. Pyszczki te są zazwyczaj trzy o różnej średnicy, a czwarty jest t zw. głuchy bez otworu i służy do przerywania prądu.



Rys. 53.

Średnica otworów tych pyszczków jest zależna od systemu i wydajności sikawki. Przy stosowaniu sikawek ręcznych otwory pyszczków prądownic bywają następujące: dla mniejszych sikawek 8, 10 i 12 mm \varnothing dla większych — 10, 12 i 14 mm \varnothing , rzadziej 12, 14 i 16 mm \varnothing . Dla sikawek silnikowych są stosowane rewol-

werowe pyszczki o średnicy większej — 14, 16 i 18 mm, rzadziej 14, 18 i 22 mm.

Dodatknie strony pyszczka rewolwerowego.

Dodatnią stroną tego pyszczka zmiennego jest możliwość operowania trzema średnicami wylotów oraz możliwość przerywania działania prądu bez zatrzymywania działania sikawki. Jest to bardzo ważne, zwłaszcza podczas akcji ratunkowej, kiedy każda chwila jest droga i przerwy w działaniu prądu są niepożądane, a nawet nieraz szkodliwe.

Ujemne strony pyszczka rewolwerowego.

Do niedomagań przy stosowaniu pyszczków rewolwerowych zaliczyć należy:

a) ograniczone rozmiary średnicy prądów,

b) rozbryzgiwanie się częściowe prądu przez trafianie wylotowego otworu nasady na próg przy przechodzeniu z niej wody do wylotu ruchomego pyszczka, który w zależności od danego wymiaru pyszczka jest albo szerszy od nasadowego wylotu albo węższy, wskutek czego powstaje pewien opór i osłabienie prądu oraz rozbryzgiwanie się,

c) zacinalanie się przy zmianie średnicy i pewna trudność dokładnego nastawienia.

2. Pyszczyk kauczukowy.

Przed kilkunastu laty został wynaleziony w Austrii zmienny pyszczyk kauczukowy, który przedstawia rys. 54 (str. 92).

Składowe części.

Pyszczyk ten składa się z pięciu części: 1) płaszcz (*Pł.*), odlanego z brązu otaczającego wieniec t. zw., 2) ściskaczy (*SS*), obchwytyjących dokoła, 3) wylot kauczukowy (*K*) o formie bułkowej szyjki z kołnierzem u spodu, który przyciska do płaszcz, 4) wkrętka (*W*), mająca zewnętrzny drobny gwint (g_2); tym gwintem wkręcona jest w płaszcz oraz grubszy gwint (g_3) przeznaczony do nakręcania całego pyszczka na prądownicy.

Piątą część naszego pyszczka stanowi t. zw. *regulator (R)*, odlany też z brązu lub mosiądzu. Posiada on w spodniej części prostokątny gwint (*g*), który służy do regulowania stopnia rozwarcia kauczukowego wylotu, co zaraz wyjaśnię bliżej.

Regulowanie pyszczka.

Tym prostokątnym gwintem (*g*) regulator jest osadzony na górnej części płaszczka. Przez nakręcanie regulatorem niżej (głębiej) płaszczyna pierścienia naciskowego (*n*) oosusza się, naciska na ząbki ściskaczy (*S, S*), a te znów, ściskając się, nie pozwalają kauczukowemu wylotowi na rozszerzanie się i utrzymują mniejszy wymiar (średnicę) pyszczka.

W razie potrzeby zwiększenia grubości prądu, obracamy regulatorem w stronę odwrotną, dzięki czemu pierścień uciskowy regulatora podnosi się do góry, a pyszczek (*k*) wskutek znacznej elastyczności kauczuku pod ciśnieniem wody rozszerza się a wraz z nim rozchylają się ściskacze aż do dotknięcia ząbkami pierścienia naciskowego. Tym sposobem wskutek obracania w jedną lub drugą stronę regulatorem, rozszerza się lub zwęża pyszczek kauczukowy od średnicy 10 mm do średnicy 20 mm.

Dodatnie strony pyszczka kauczukowego.

Do *zalet* tego pyszczka należy zaliczyć:

- a) łatwość regulowania,
- b) większą skalę dowolnych grubości prądu od 10 mm do 20 mm \varnothing .

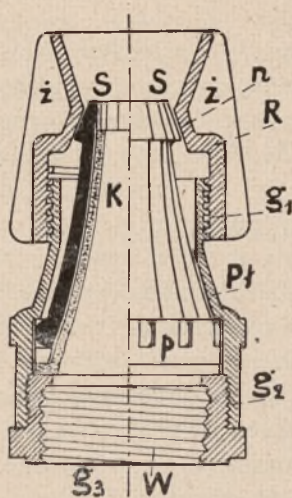
Do *wad* należy zaliczyć:

- a) konieczność operowania ciśnieniem minimum 3 at., gdyż przy ciśnieniu mniejszym pyszczek nie jest w stanie rozewrzeć się więcej jak do 10—12 mm \varnothing ;
- b) niemożność przerwania prądu bez zatrzymania sikawki;
- c) stopniowe zatracanie z biegiem czasu elastyczności kauczuku.

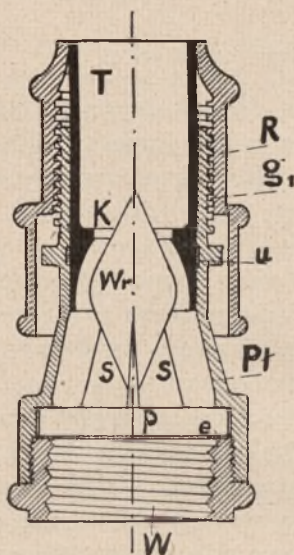
3. Pyszczek wrzecionowy.

Ten pyszczek ukazał się przed 10-ciu laty i znalazł zastosowanie na razie w Austrii i Niemczech, a od paru lat jest uży-

wany i w naszych strażach. Rys. 55 przedstawia przekrój podłużny tego pyszczka, który się składa z trzech części: *płaszcz*, *wrzeciono* i *regulatora*.



Rys. 54.



Rys. 55.

Składowe części.

Płaszcz (*Pł.*) posiada, jak i w pyszczku kauczukowym, u spodu wkrętkę (*W*), którą jest przyciśnięty pierścień (*p*) wrzeciono oraz ma gwint do nakręcania pyszczka na prądownicę. U góry na płaszczu znajduje się długi prostokątny gwint (*g*), na którym osadzony jest regulator (*R*).

Najistotniejszą częścią wynalazku jest t. zw. wrzeciono (*Wr.*), osadzone trzema skrzydełkami (*S, S*) na pierścieniu (*p*), który przyciska, jak widzimy, od spodu wkrętka z pierścieniem uszczelniającym z ebonitu (*e*). Wrzeciono posiada dokładnie wytoczony profil i powierzchnię w średniej części kulistą, a na obu końcach stożkową i stanowi podstawę do wytwarzania zwartego prądu, którego grubość jest regulowana specjalnym kapturem (*k*), mającym powierzchnię wewnętrzną dopasowaną do powierzchni wrzeciono. Kapturek stanowi dolną część specjalnie długiej tulei (*T*), odlanej z brązu (na rysunku tuleja ta

wraz z kapturkiem jest zabarwiona na czarno). Górny koniec tulei jest przymocowany do regulatora, a w dolnej części jej znajduje się pierścień uszczelniający (*u*).

Działanie regulatora.

Regulator posiada powierzchnię dolną, żłobkową i dwa namulowane pierścienie, ułatwiające obracanie nim. W górnej części regulator zaopatrzony jest od wewnątrz w długi gwint prostokątny, którym regulator nakręca się na gwint płaszcz, wskutek czego albo się podnosi albo obniża. Przy podnoszeniu regulatora podnosi się tuleja z kapturkiem, a wtedy przelot wody pomiędzy wrzecionem a kapturkiem zwiększa się i prąd staje się grubszy.

Odwrotne zjawisko daje się zaobserwować przy okręcaniu regulatora w inną stronę, wskutek czego kapturek zbliża się do wrzeciona. Wtedy pierścieniowy przelot wody zmniejsza się, a prąd jej staje się coraz cieńszy i przy zetknięciu się kapturek z powierzchnią wrzeciona prąd się przerywa.

Jeśli powierzchnia wrzeciona jest dobrze wytoczona i powierzchnia kapturek dopasowana, to wtedy prąd czy to cienki 5—10 mm \varnothing , czy też grubszy 15—20 mm \varnothing zawsze otrzymuje się równy, bez rozbryzgiwania.

Zalety i wady pyszczka wrzecionowego.

Do zalet pyszczka wrzecionowego zaliczamy:

- a) rozległą skalę dowolnych zmian średnicy prądu od 5 do 25 mm \varnothing ;
- b) równy zwarty prąd;
- c) możliwość momentalnego przzerwania prądu.

Pewną wadą tych pyszczków jest ich spora waga, zwłaszcza jeżeli są one jeszcze obciążone dodatkowymi urządzeniami, jak tarcza wodna ochronna i rozpylacz do prądu kroplistego, o czym będzie mowa dalej.

B. PYSZCZKI ROZPYLAJĄCE.

Zanim przejdziemy do sprawy użycia prądów kroplistych, a zwłaszcza rozpylonych, musimy tu uprzytomnić sobie właściwości gaśnicze wody.

Właściwości gaśnicze wody.

1) Woda, pokrywając płonące ciało, oddziela je od tlenu powietrza, czyli wywiera *działanie tłumiące*.

2) Przez parowanie przy zetknięciu się z rozgrzaniem ciałem, cząstki wody zamieniają się w parę, pochłaniając ciepło ciała, oziębiają je, czyli wywierają *działanie gaszące*.

Jeśli weźmiemy pod uwagę, że dla przejścia 1 kg wody o temperaturze 0° do stanu pary potrzeba zużyć około 640 ciepłostek (kalorii), to oczywistym się staje, że oziębiające działanie wody jest dominującym w tym wypadku, kiedy znaczna część wody, której prąd działa na płonące ciało, będzie zamieniona na parę.

Im więcej rozdrobniony zostanie prąd wody na bryzgi a jeszcze lepiej na drobny pył wodny, tym łatwiej i szybciej te cząstki ulegną wyparowaniu, a tym samym działanie takiego prądu będzie bardziej oziębiające.

Zaczęto robić różnego rodzaju doświadczenia z rozpylonymi prądami i osiągnięto dobre rezultaty. Należycie rozpylony prąd grał podwójną rolę: oziębiającą, wskutek szybkiego parowania, i tłumiącą, t. j. oddzielał płonące ciało od tlenu otaczającego go powietrza, tak przez masę pyłu wodnego, jak i przez obłok formującej się z niego pary.

Pyszczek rozbryzgujący.

Pierwszym, najdawniejszym rozpylaczem był pyszczek wprowadzony przed kilkadziesiąt laty w wiedeńskiej straży miejskiej. Pyszczek ten posiadał na końcu zwykłego wylotu prądownicy rodzaj kielicha, w którym przez pokręcenie specjalnego pierścienia zbliżało się do osi prądownicy kilkanaście ostrych kielków, rozbijających prąd wody na drobne bryzgi. Były to jednak tylko bryzgi a nie pył wodny. Dopiero we Francji b. kumendantowi straży pożarnej w Paryżu, gen. Poudroux oraz w Niemczech Steinowi udało się wynaleźć pyszczek istotnie rozpylający prąd na mgłę wodną. Szczególnie pyszczek Steina zasługuje na wyróżnienie.

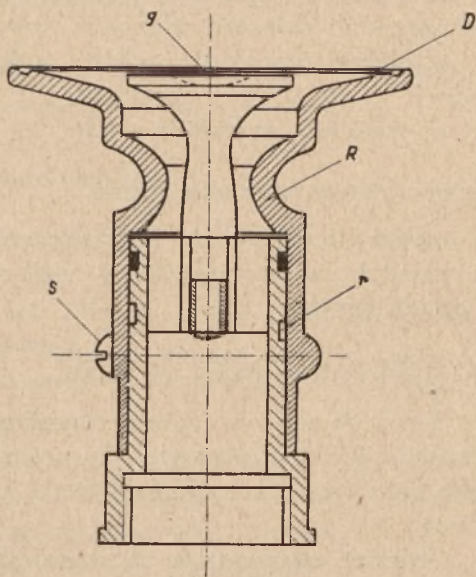
Pyszczek rozpylający.

Rysunek 56 przedstawia przekrój pyszczka Steina. Składa się ten pyszczek z dwóch części: właściwego pyszczka z grzybkim pośrodku i z ruchomego dzwonu (*D*) w postaci roz-

wartego wylotu, który pełni tu rolę regulatora. Regulator ten obraca się dokoła płaszczka puszczka z rowkiem wytoczonym spiralnie i śruby (s) w nim osadzonej. Przy okręcaniu regulatorem dzwon albo się zbliża, albo oddala się od grzybka.

Przy oddaleniu dzwonu od końca grzybka otrzymuje się prąd zbliżony do zwartego, gdyż jest prawie cylindryczny, jednak grzybek, znajdujący się wewnątrz takiego strumienia, działa nań nieco hamująco, wskutek czego prąd traci na swej zwartości, powodując pewne rozbryzgiwanie się.

Przy największym oddaleniu dzwonu od końca grzybka następuje przerwanie prądu. Przy zbliżaniu się natomiast dzwonu do końca grzybka prąd rozszerza się coraz więcej, formując rodzaj parasola wodnego, przy czym rozwartość krańcowa



Rys. 56.

płaszczyzny tego rozszerzonego stożka dochodzi do 150° — 160° . Im więcej zbliżamy płaską, rozwartą część górną dzwonu do czapeczki grzybka, otrzymujemy tym więcej rozdrobnione cząstki wody, formujące t. zw. pył wodny, którego zdolności oziębiające potęgują się coraz więcej. Rozwarty ten stożek wodny prądu rozpylonego może służyć również jako tarcza wodna, osłaniająca prądownika od żaru.

Chociaż prąd t. zw. zwarty z puszczka Steina ustępuje nieraz co do jednolitości i siły prądom zwykłym, otrzymywanym z puszczek normalnych, to jednak puszczek ten wytwarza bardzo dobry prąd rozpylony, skuteczny w działaniu nie tylko przy gaszeniu ciał palnych zwykłych, lecz i przy opanowywaniu pożarów płynów łatwopalnych, jak przetwory ropy naftowej (nafty,

benzyny, smarów i t. p.), których prądem wodnym zwykłym gasić nie można.

Ocenę puszczka Steina można określić jak następuje:

Strony dodatnie i ujemne puszczka Steina.

Zalety puszczka Steina.

a) prostota działania puszczkiem i łatwość regulowania większego lub dalszego oddalenia dzwonu od grzybka.

b) dobre rozpylanie prądu, dochodzące do t. zw. mgły wodnej.

c) możliwość zamknięcia prądu.

Ujemne strony puszczka Steina.

a) prąd t. zw. zwarty jest niejednorodny i nieco rozbryzgujący się wskutek znajdowania się w środku prądu tamującej zapory w postaci grzybka.

C. PUSZCZKI UNIWERSALNE.

Pewnego rodzaju jednostronność puszczków zmiennych, kauczukowych, i wrzecionowych, a po części rozpylających, nasunęło niektórym konstruktorom myśl budowy puszczka uniwersalnego.

Puszczki tego rodzaju są znane dwóch typów: puszczek uniwersalny austriacki *Rozenbauera* i puszczek polski uniwersalny „Grom”.

1. Puszczek uniwersalny Rozenbauera.

Pomysł Rozenbauera polega na połączeniu trzech urządzeń na jednej prądownicy: głównego, które stanowi puszczek wrze-



Rys. 57.

cionowy, oraz dwóch pomocniczych do formowania tarczy wodnej i do rozbryzgiwania prądu. Rys. 57-y przedstawia widok

prądownicy z tymi urządzeniami. Widzimy tu puszczek wrzecionowy (P) z wyślóbkowaną powierzchnią regulatora, obracającego się na zwężonym końcu płaszczka puszczka. Bliżej nasady prądownicy widać kółko zazębiane, służące do wytwarzania tarczy wodnej (I) dla osłony prądownika. Przy obróceniu tym kółkiem w lewo (odwrotnie do kierunku strzałki zegarowej) formuje się przy nasadzie puszczka szczelina, która wytwarza tarczę wodną, bijącą dokoła prądownicy cienką warstwą o promieniu około 1,5 m.

Na końcu wylotu puszczka jest osadzony rozbryzgiwacz (R) typu wiedeńskiej straży pożarnej, opisany wyżej (str. 95).

Zalety i wady puszczka austriackiego.

Do zalet puszczka uniwersalnego austriackiego należy zaliczyć:

- 1) możliwość wytwarzania dobrego prądu zwartego o dowolnej średnicy lub rozbryzganego;
- 2) zastosowanie jednocześnie osłony wodnej dla prądownika.

Do ujemnych stron zaliczamy:

1) znacznie zwiększony ciężar prądownicy przez osadzenie na niej aż trzech oddzielnych urządzeń: puszczka wrzecionowego, puszczka rozbryzgującego oraz tarczy wodnej,

2) wytwarzanie przez puszczek rozbryzgowy tylko prądu kroplistego, a nie rozpylonego.

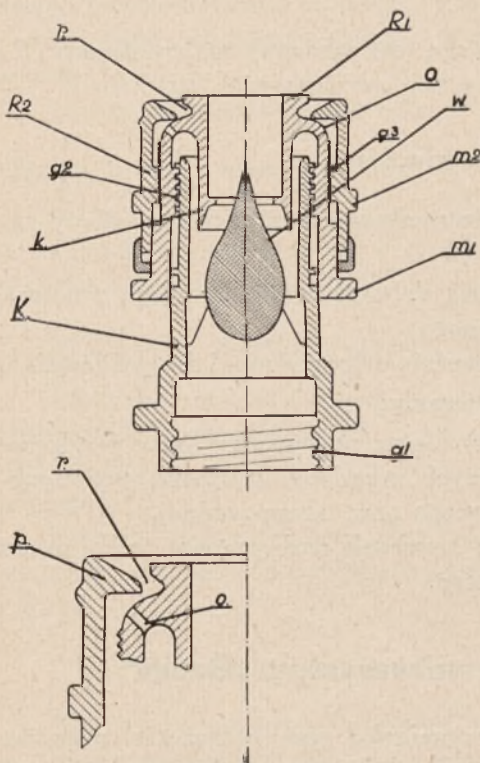
2. Puszczek uniwersalny „Grom”.

Podstawą polskiego wynalazku jest połączenie puszczka wrzecionowego ze specjalnym rodzajem puszczka rozpylającego, który zamiast grzybka, jaki widzieliśmy w puszczku Steina, posiada rozpylające urządzenie na zewnętrznej powierzchni regulatora (R_1).

Rys. 58 przedstawia przekrój wzdłuż osi puszczka „Grom”. Urządzenie rozpylające polega na wytoczeniu przy końcu regulatora (R_1), rowku (r). Krawędź tego regulatora jest otoczona specjalnym pierścieniem (p), wytworzonym na regulatorze zewnętrznym (R_2); profil tego pierścienia posiada wewnętrzny ostry występ, odpowiednio dopasowany do dolnej ścianki rowku (r)

i formuje większą lub mniejszą szczelinę, przez którą przedostająca się woda wytwarza prąd rozpylony.

Podstawowy korpus puszczka (K) posiada u spodu zwykły gwint (g) do nakręcania na prądownicę, u góry prostokątny, na którym obraca się regulator (R_1), działający tak samo jak i w puszczku opisanym poprzednio (str. 95). Przy obracaniu się tego regulatora w prawo (jak wskazówki zegara) dolny kapturek (k) zbliża się do wrzeciona (w) i



Rys. 58.

zwały prąd wody staje się coraz cieńszy (o mniejszej średnicy). Przy zetknięciu się kapturek z powierzchnią wrzeciona, prąd jest przerywany.

Odwrotnie, przy obracaniu regulatorem w lewo, otrzymuje się prąd zwarty coraz grubszy (o większej średnicy).

Dokładne, sprofilowane wklęsnięcie iglicy wrzecionowej wytwarza idealnie równy zwarty prąd zarówno cienki jak i gruby.

Ciekawe jest działanie rozpylacza. Do jego nastawienia

służy regulator zewnętrzny (R_2), obracający się za pomocą gwintu (g_3), którym jest osadzony na pierwszym regulatorze (R_1).

Przy obracaniu drugim regulatorem (R_2) w lewo podnosimy pierścien (p), wskutek czego woda, dostaje się tu przez otwory (o, o), formuje dzięki powstałej tu szczelinie pomiędzy ściankami rowku (r) a pierścieniem (p) tarczę wodną, tym grubsza, im więcej pierścien ten jest oddalony od ścianki rowka. Zbliżanie

natomiast coraz większe pierścienia do ścianki daje tarczę coraz cieńszą, aż w końcu woda rozbija się na miliardy mikroskopijnych cząstek i wytwarza mgłę wodną o wysokiej własności oziębiającej. Przy zupełnym zetknięciu się pierścienia ze ścianką rowka rozpylacz się zamyka. Nastawianie obu regulatorów (R_1) i (R_2) odbywa się za pomocą namulowanych pierścieni (m_1) i (m_2).

Opisany tu uniwersalny puszczek spełnia cztery zadania:

1) formuje prąd jednolity zwarty, o cylindrycznym przekroju od 0 do 20 mm

2) wytwarza nadzwyczaj rozdrobniony prąd, formujący mgłę wodną;

3) pozwala działać prądem zwartym z jednocześnie wytworzoną osłoną tarczy wodnej;

4) umożliwia operowanie jednocześnie dwoma prądami; zwartym i rozpylonym.

Rys. 59 przedstawia działanie puszczka prądem zwartym, rys. 60 — rozpylonym, a rys. 61 — działanie dwojakiem, prądem zwartym i rozpylonym.



Rys. 59.

Na tym opisie ulepszonych prądownic kończę swoją pracę. Poświęciłem tej sprawie nieco więcej uwagi z tego względu, że dobre sikawki, a zwłaszcza ich ulepszone główne części składowe — prądownice stanowią podstawowe narzędzie w walce z pożarami. Można je utożsamić z dobrą, celną artylerią i doskona-

łymi karabinami maszynowymi, których sprawne i intensywne działanie najczęściej ma decydujący wpływ na przebieg walki i stanowi o zwycięskiej ofensywie armii.



Rys. 60.

Tak samo i w walce z pożarem racjonalnie dobrany sprzęt w postaci dobrych sikawek, wyposażonych w odpowiednią ilość węży, umiejętnie użytych do przeprowadzenia linii węzowych,



Rys. 61.

świadome umiejętnie zastosowanie prądów, to zwartych o większym lub mniejszym przekroju, to znów rozpylonych, wywiera również najczęściej rozstrzygający wpływ na przebieg akcji ra-

tunkowej. A ta będzie tym skuteczniejsza, im lepsze i więcej fachowe będzie zastosowanie sikawek i ich linii z całą świadomością i zrozumieniem istnienia oporów i strat, na jakie narażona jest woda, przepływając w liniach węzowych od sikawek aż do pyszczków. Stosując więc te wszystkie wiadomości i praktyczne dane z hydrauliki, uniknąć albo zmniejszyć możemy do pewnych granic te straty.

Spis rozdziałów.

	Str.
Przedmowa	5
Wstęp	7
<i>I. Zasadnicze pojęcia z mechaniki</i>	<i>9</i>
1. Siła, przyspieszenie i szybkość	9
2. Ruch cieczy	13
3. Praca i moc	14
4. Energia	15
5. Ruch	20
<i>II. Hydrostatyka</i>	<i>26</i>
1. Prawo zasadnicze Pascal'a	26
2. Prawo Archimedes'a	30
3. Równowaga cieczy w naczyniach połączonych	33
<i>III. Hydrodynamika.</i>	
1. Zasady przepływu cieczy przez przewód	35
2. Straty ciśnienia dla wytworzenia prędkości	38
3. Opór przyspieszenia	39
4. Opór tarcia	41
5. Opór przy zmianie kierunku	46
6. Opór przy zmianach przekrojów	50
7. Opory powstające w kurkach przepustnicach, szluzach i zaworach	56
8. Linie węzowe i ich rozgałęzienia	62
9. Wzlot i przelot swobodnych prądów wodnych	79

<i>IV. Prądownice udoskonalone o pyszczkach zmiennych i rozpylających</i>	89
A. PYSZCZKI ZMIENNE	89
1. Pyszczyk rewolwerowy	89
2. Pyszczyk kauczukowy	90
3. Pyszczyk wrzecionowy	91
B. PYSZCZKI ROZPYLAJĄCE	93
C. PYSZCZKI UNIWERSALNE	95
1. Pyszczyk uniwersalny Rozenbauera	96
2. Pyszczyk uniwersalny „Grom”	97



